

Computergrafik

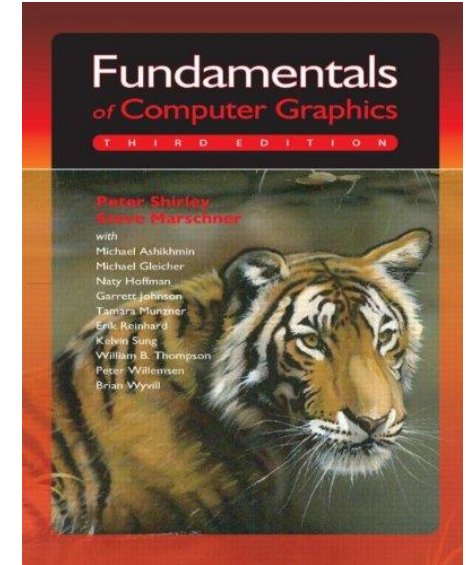
Vorlesung im Wintersemester 2024/25

Kapitel 3: Transformationen und homogene Koordinaten

Prof. Dr.-Ing. Carsten Dachsbacher
Lehrstuhl für Computergrafik
Karlsruher Institut für Technologie

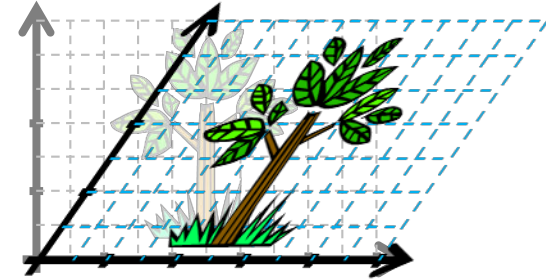
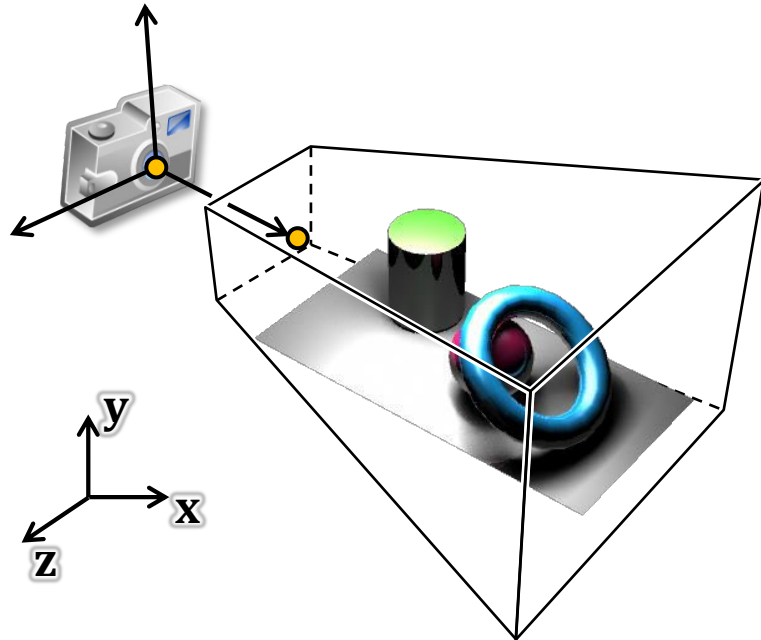


- ▶ **Fundamentals of Computer Graphics,**
P. Shirley, S. Marschner, 3rd Edition, AK Peters
→ Kapitel 5, 6 und 7

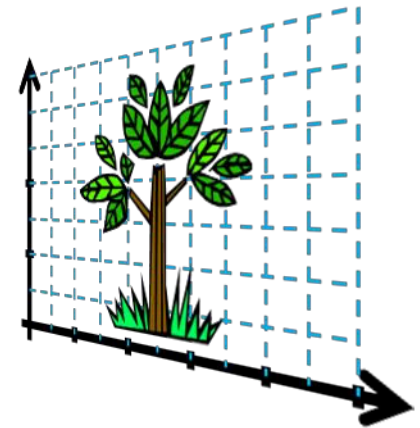


Inhalt

- ▶ 2D Transformationen
- ▶ 3D Transformationen
- ▶ Affine Abbildungen
- ▶ Homogene Koordinaten
- ▶ Transformation von Normalenvektoren
- ▶ Koordinatensysteme in der CG und hierarchische Modellierung



$$\begin{pmatrix} a_{11} & a_{12} & b_1 \\ a_{21} & a_{22} & b_2 \\ 0 & 0 & 1 \end{pmatrix}$$



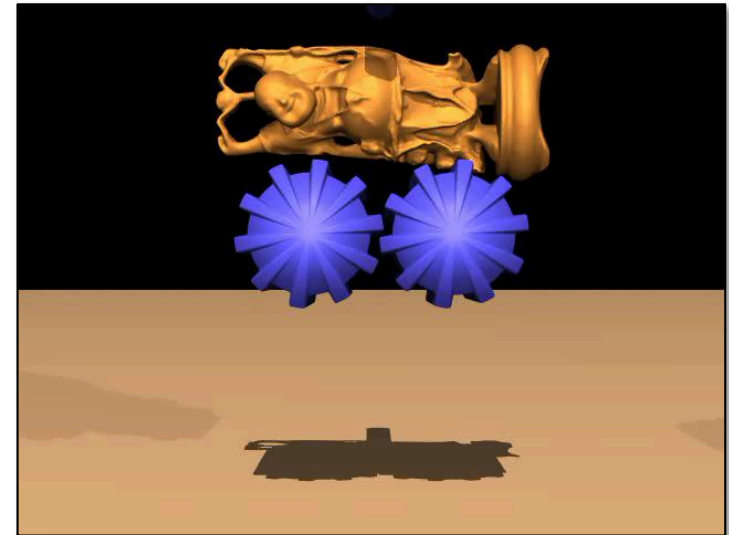
Was ist eine Transformation



- ▶ was ist eine Transformation?
 - ▶ eine Transformation bildet einen Punkt \mathbf{x} auf einen Punkt \mathbf{x}' ab
- ▶ eine lineare Transformation T ist eine Abbildung, die einen Punkt $\mathbf{x} \in \mathbb{R}^n$ auf einen Punkt $\mathbf{x}' \in \mathbb{R}^m$ abbildet: $\mathbf{x}' = T(\mathbf{x}) = \mathbf{A}\mathbf{x}$
 - ▶ $\mathbf{A} \in \mathbb{R}^{m \times n}$ ist die Transformationsmatrix von T
 - ▶ \mathbf{A} hat m Zeilen und n Spalten

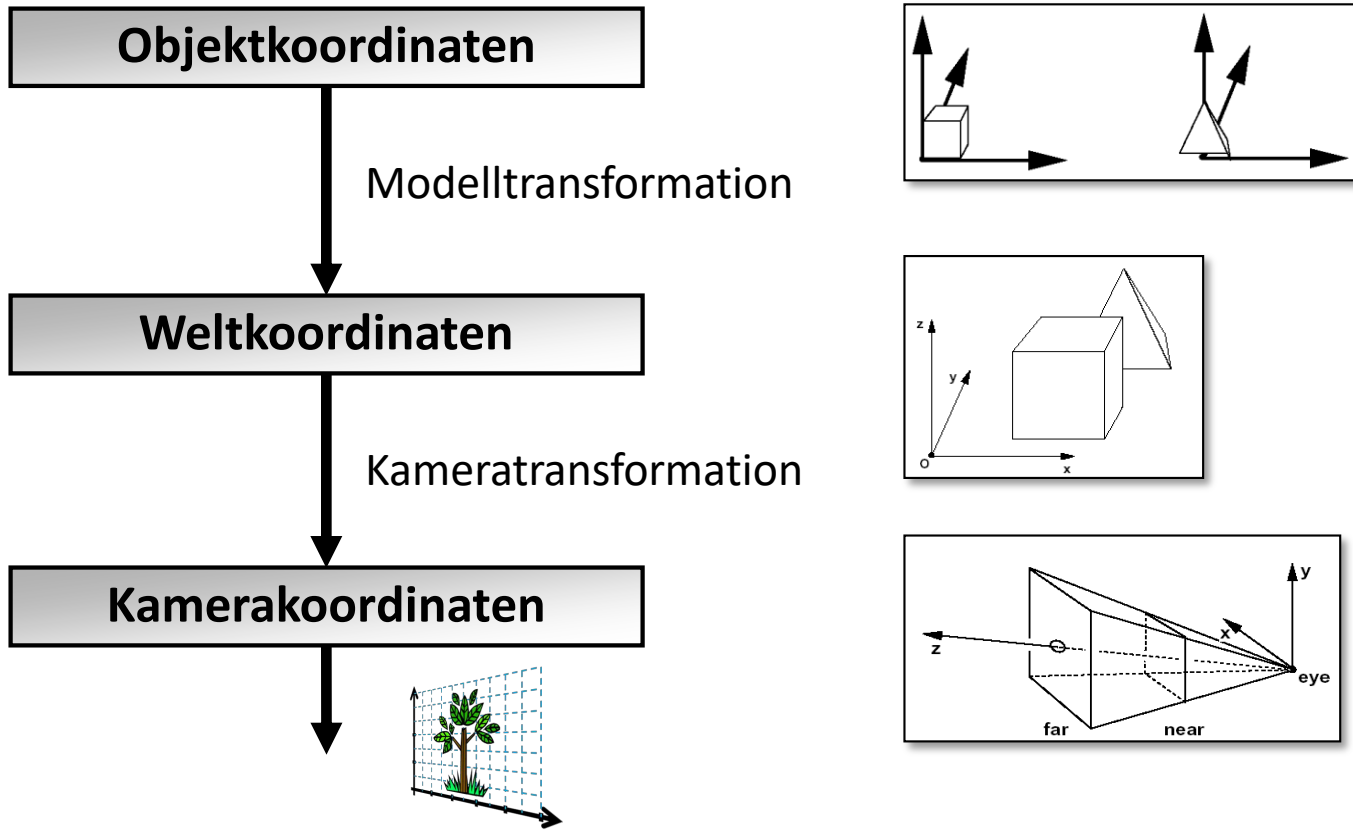
▶ Beispiele

- ▶ Platzierung von Objekten in einer Szene
- ▶ Animation und Deformation
- ▶ Kameratransformation und Projektion
- ▶ aber auch:
 - ▶ Echtzeit-Schattenverfahren
 - ▶ Texturierung
 - ▶ Spiegelungen usw.



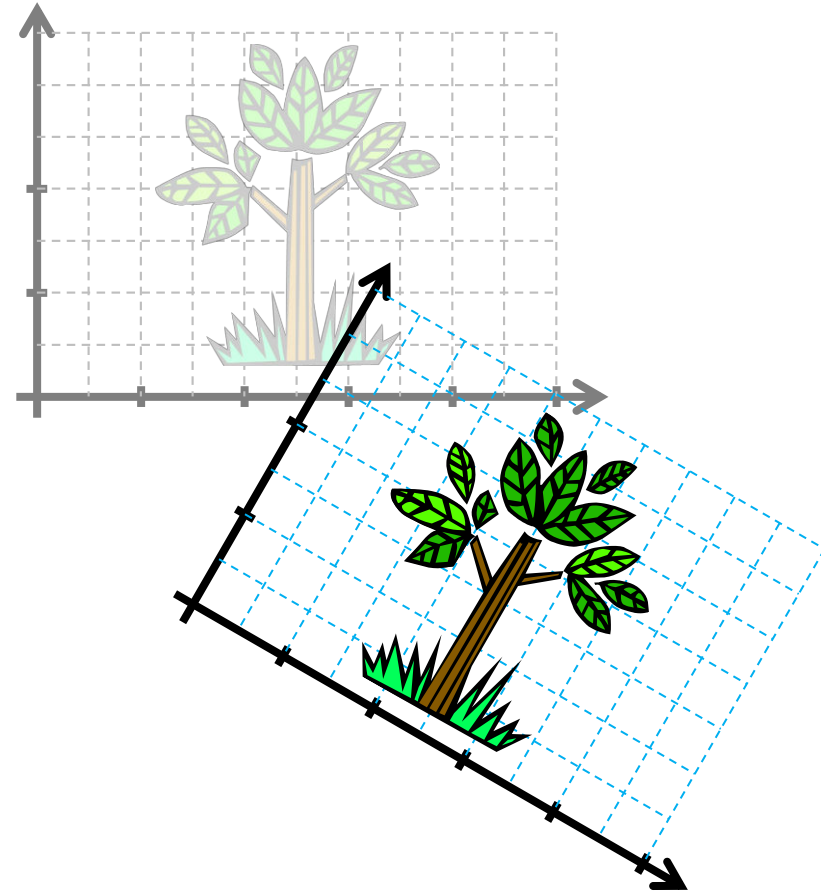
Koordinatensysteme in der CG

- ▶ Objekte in einer Szene werden zur Modellierung (Beschreibung) in ihrem eigenen **Objekt- oder Modell-Koordinatensystem** angegeben
- ▶ die Platzierung der Objekte im **Weltkoordinatensystem** erfolgt dann durch Translation, Rotation, Skalierung etc.
- ▶ dann erfolgt – beim Raytracing implizit – die Transformation in das **Kamerakoordinatensystem** oder der **Sichtstrahlen in Weltkoordinaten**

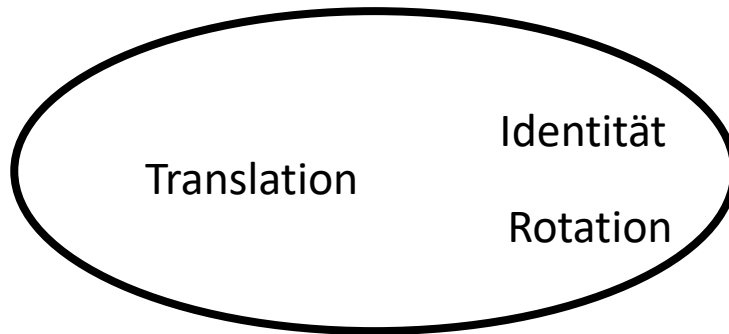


Transformationsgruppen

- ▶ euklidische/rigide Transformationen
 - ▶ erhalten Abstände und Inhaltsgrößen (Volumina, ...)
 - ▶ erhalten Winkel

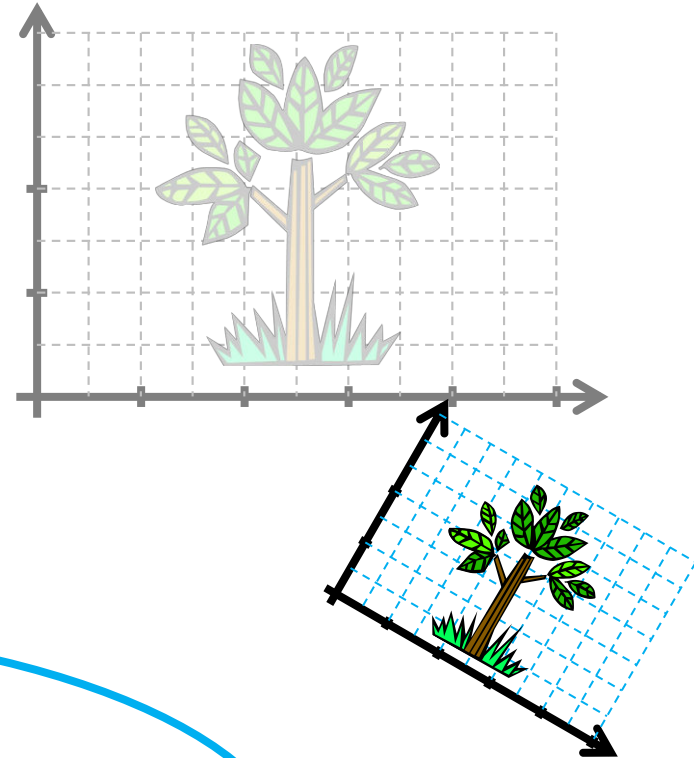


euklidische Abb.



Transformationsgruppen

- ▶ Ähnlichkeitsabbildungen
 - ▶ erhalten Winkel



Ähnlichkeitsabbildungen

euklidische Abb.

Translation

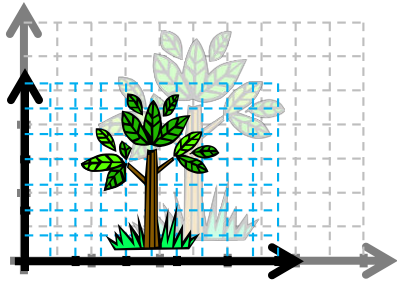
Identität

Rotation

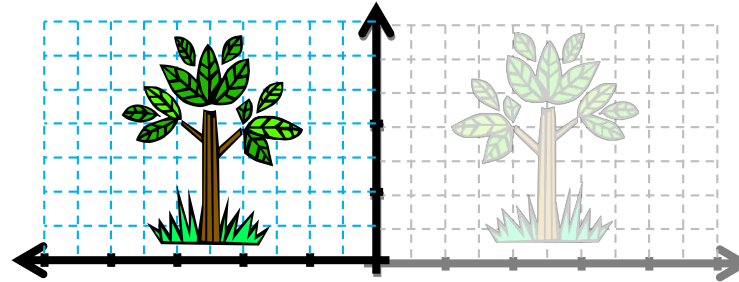
isotrope
Skalierung

Transformationsgruppen

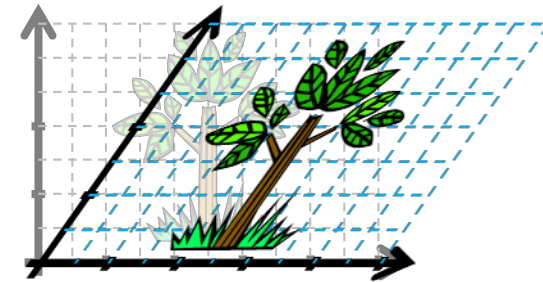
▶ lineare Abbildungen



Skalierung

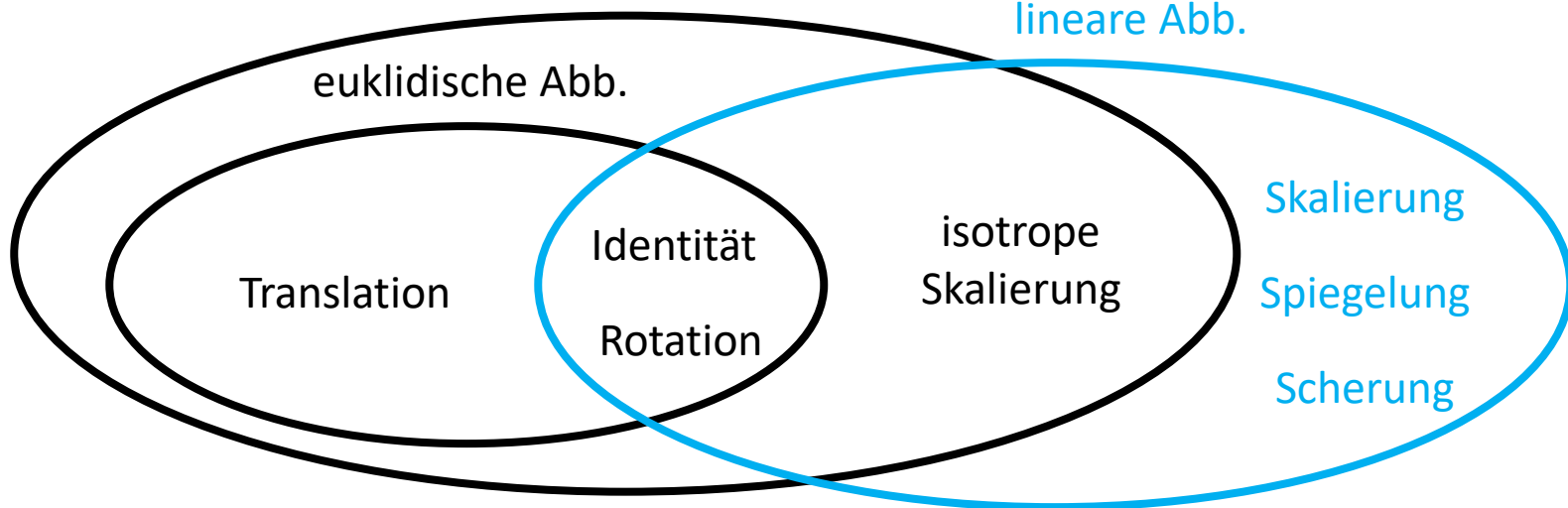


Spiegelung



Scherung

Ähnlichkeitsabbildungen



Transformationsgruppen

▶ lineare Abbildungen haben zwei Eigenschaften

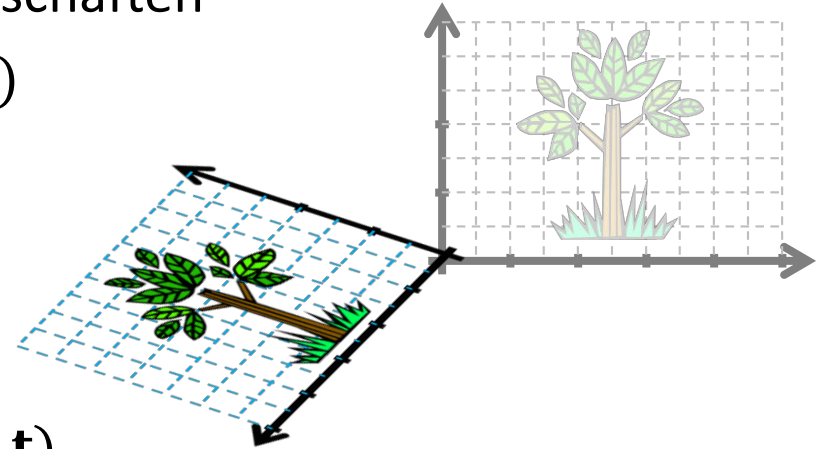
▶ additiv: $T(\mathbf{p} + \mathbf{q}) = T(\mathbf{p}) + T(\mathbf{q})$

▶ homogen: $T(a\mathbf{p}) = aT(\mathbf{p})$

▶ eine Translation ist nicht linear:

▶ sei $T(\mathbf{p}) = \mathbf{p} + \mathbf{t}$

▶ $T(a\mathbf{p}) = a\mathbf{p} + \mathbf{t} \neq aT(\mathbf{p}) = a(\mathbf{p} + \mathbf{t})$



Ähnlichkeitsabbildungen

lineare Abb.

euklidische Abb.

Translation

Identität

Rotation

isotrope
Skalierung

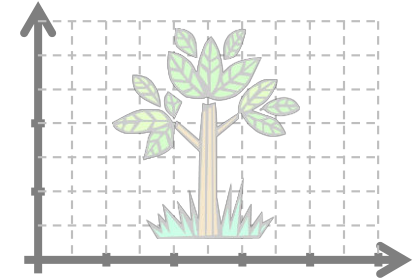
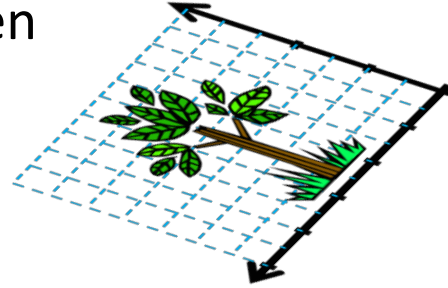
Skalierung

Spiegelung

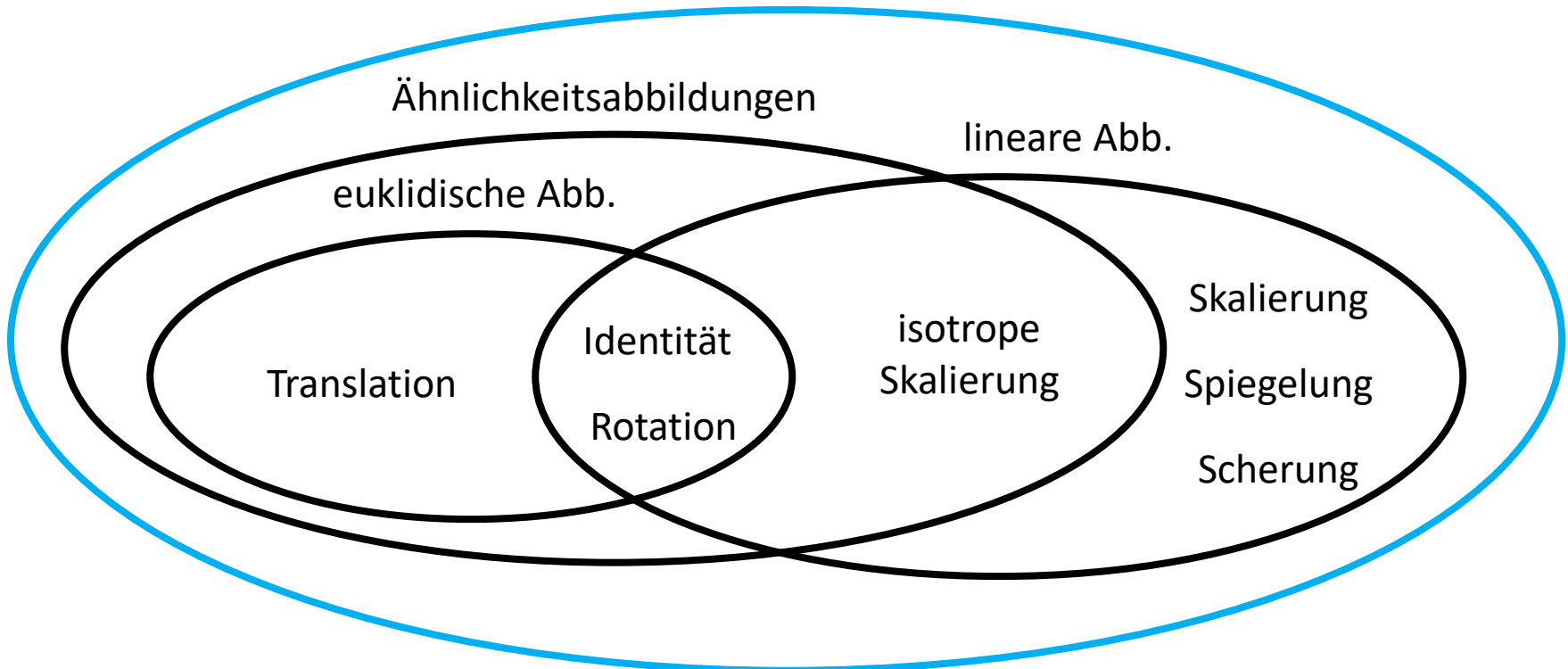
Scherung

Transformationsgruppen

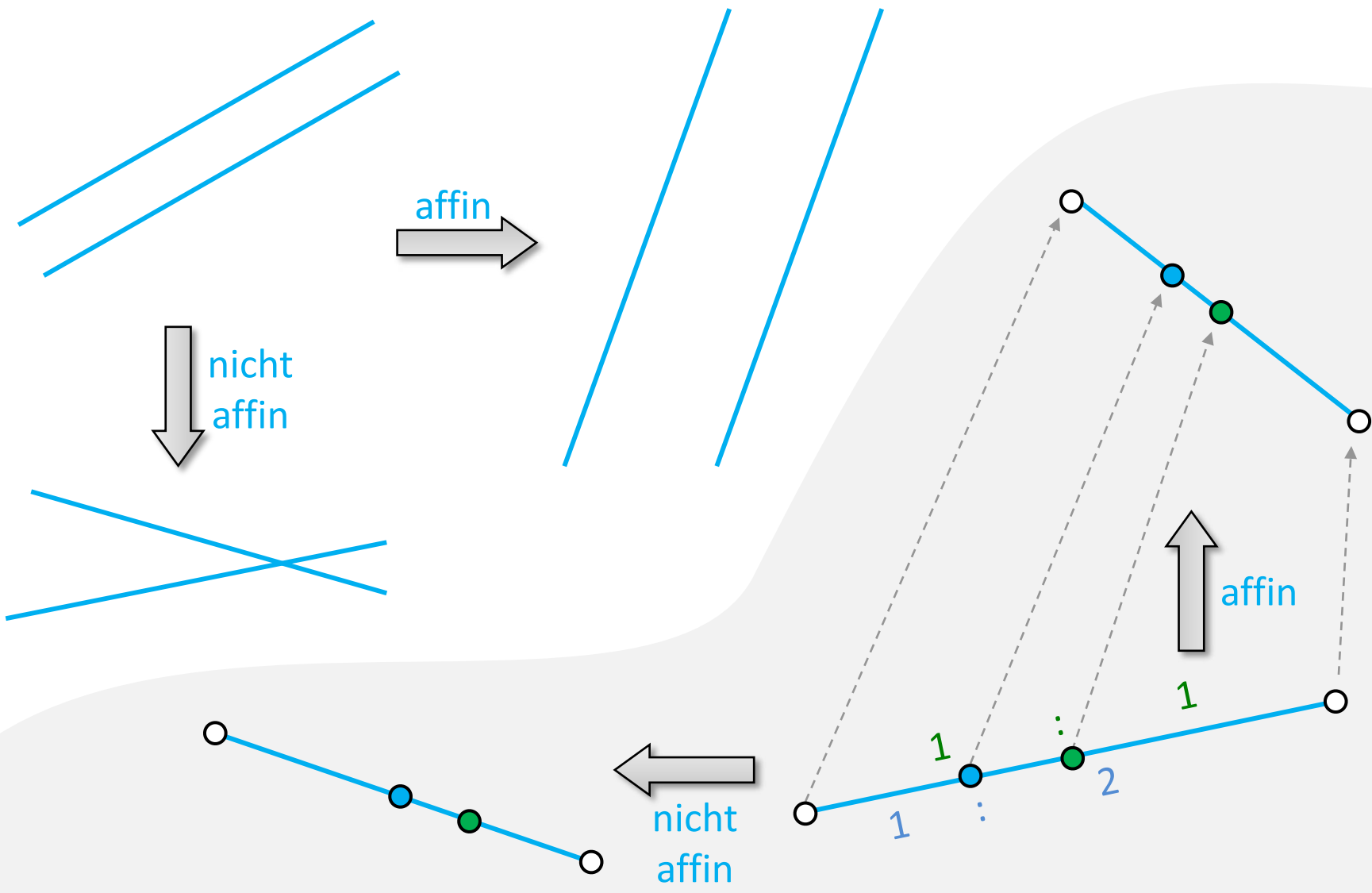
- ▶ affine Abbildungen
- ▶ parallele Linien werden erhalten
- ▶ teilverhältnistreu



affine Abb.

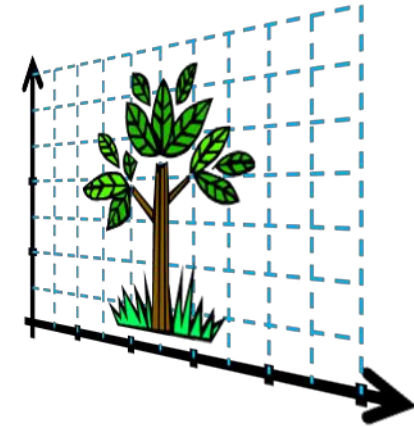


Affine Abbildungen



Transformationsgruppen

- ▶ projektive Abbildungen
 - ▶ Geraden werden auf Geraden abgebildet
 - ▶ Bsp. perspektivische Abbildung



projektive Abb.

affine Abb.

Ähnlichkeitsabbildungen

lineare Abb.

euklidische Abb.

Translation

Identität

Rotation

isotrope
Skalierung

Skalierung

Spiegelung

Scherung

Grundlegende lineare 2D Transformationen

- ▶ Beschreibung mittels Vektor-Matrix-Multiplikationen
 - ▶ Skalierung
 - ▶ Scherung
 - ▶ Spiegelung
 - ▶ Rotation
 - ▶ später: zusammengesetzte Transformationen, z.B. Spiegelung an einer Geraden/Ebene, Rotation um einen Punkt/Achse, ...
- ▶ Beispiel: Matrizen für diese Transformationen haben die Form

$$\begin{pmatrix} a_{11} & a_{12} \\ a_{21} & a_{22} \end{pmatrix} \begin{pmatrix} x \\ y \end{pmatrix} = \begin{pmatrix} a_{11}x + a_{12}y \\ a_{21}x + a_{22}y \end{pmatrix}$$

Skalierung

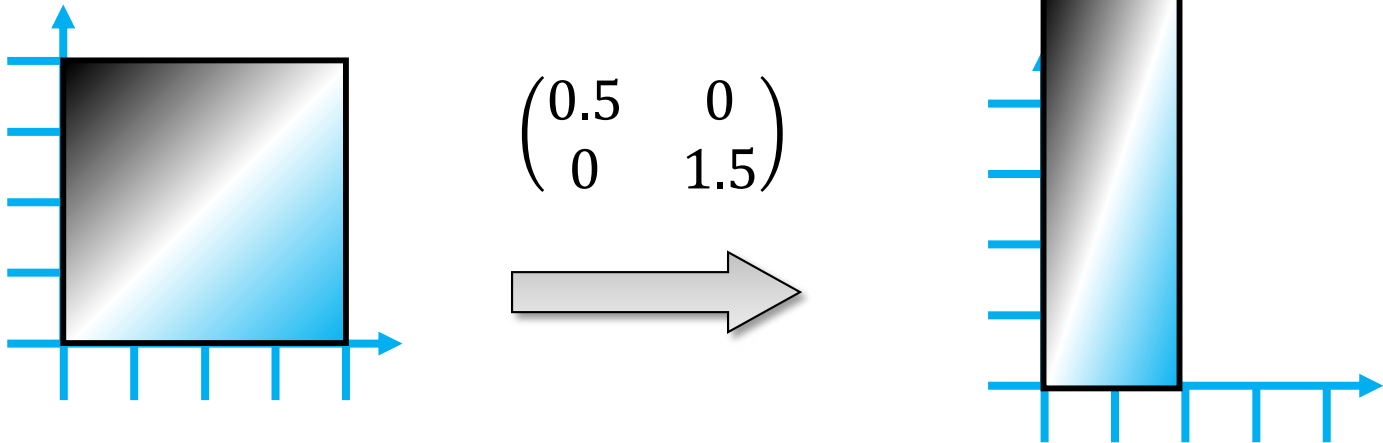
- ▶ ändert Längen, Winkel bei nicht-uniformer Skalierung (wenn $s_x \neq s_y$)

$$\text{scale}(s_x, s_y) = \begin{pmatrix} s_x & 0 \\ 0 & s_y \end{pmatrix}$$

- ▶ Transformation eines Vektors

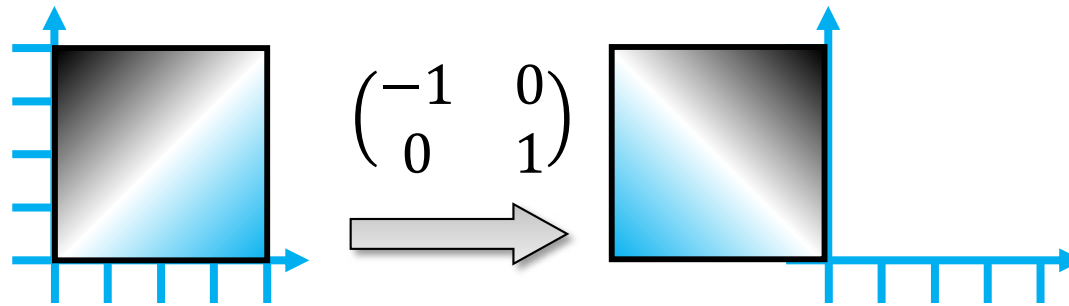
$$\begin{pmatrix} s_x & 0 \\ 0 & s_y \end{pmatrix} \begin{pmatrix} x \\ y \end{pmatrix} = \begin{pmatrix} s_x x \\ s_y y \end{pmatrix}$$

- ▶ Beispiel:

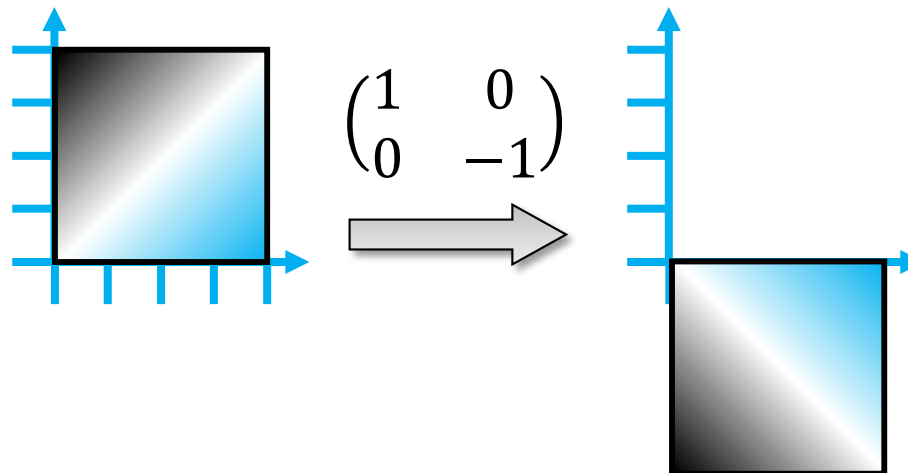


Spiegelung

- ▶ Spiegeln eines Vektors an einer der Koordinatenachsen
 - ▶ Spiegelung ist eine negative Skalierung
- ▶ Spiegelung an der y -Achse (Multiplikation der x -Koordinate mit -1)



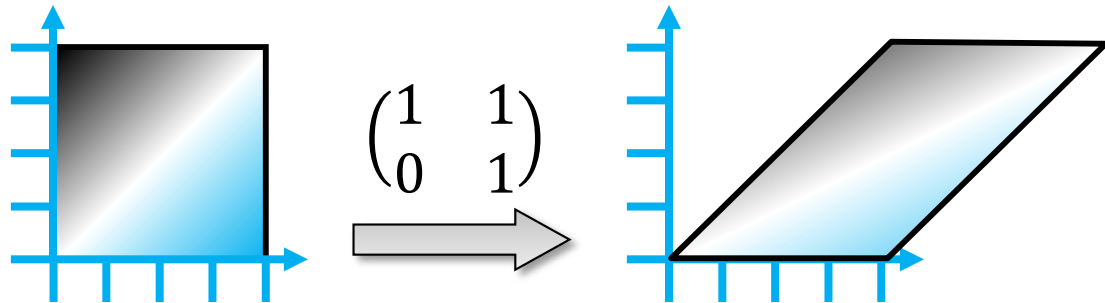
- ▶ ... an der x -Achse (Multiplizieren der y -Koordinate mit -1)



Scherung (Transvektion)

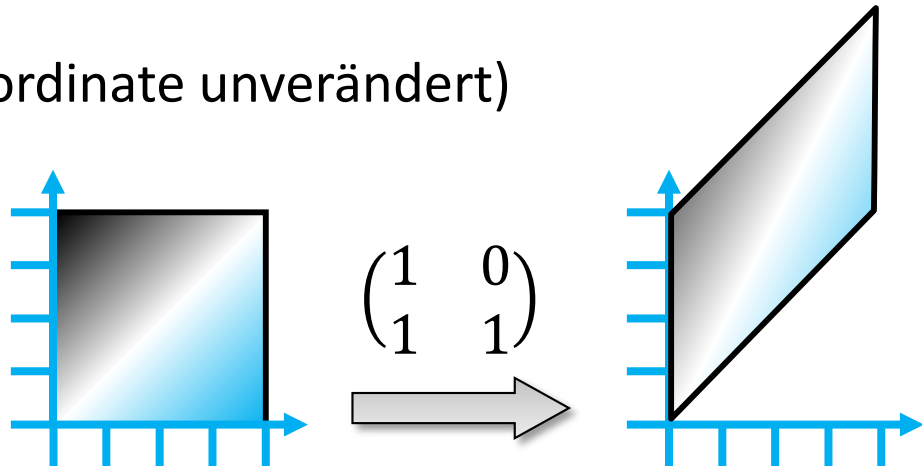
- ▶ Verschiebung parallel zu einer Achse (Flächeninhalt bleibt erhalten)
- ▶ Länge des Verschiebungsvektors proportional zum Abstand von der Achse
- ▶ Beispiele
 - ▶ horizontale Scherung (y -Koordinate bleibt unverändert)

$$\text{shear}_x(s) = \begin{pmatrix} 1 & s \\ 0 & 1 \end{pmatrix}$$



- ▶ vertikale Scherung (x -Koordinate unverändert)

$$\text{shear}_y(s) = \begin{pmatrix} 1 & 0 \\ s & 1 \end{pmatrix}$$



Rotation

▶ Beispiel

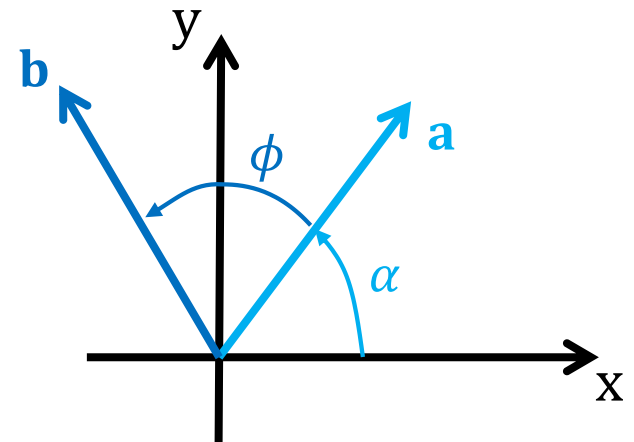
▶ geg. ein Vektor $\mathbf{a} = (a_x, a_y)$ mit Winkel α zur x -Achse

▶ Länge $r := |\mathbf{a}| = \sqrt{a_x^2 + a_y^2}$

▶ Polarkoordinaten

$$a_x = r \cdot \cos \alpha$$

$$a_y = r \cdot \sin \alpha$$



▶ Rotation um den Winkel ϕ (gegen den Uhrzeigersinn)

$$b_x = r \cos(\alpha + \phi) = r \cos \alpha \cos \phi - r \sin \alpha \sin \phi$$

$$b_y = r \sin(\alpha + \phi) = r \sin \alpha \cos \phi + r \cos \alpha \sin \phi$$

(Additionstheoreme)

Rotation

- ▶ Rotation um den Winkel ϕ (gegen den Uhrzeigersinn)

$$b_x = r \cos(\alpha + \phi) = r \cos \alpha \cos \phi - r \sin \alpha \sin \phi$$

$$b_y = r \sin(\alpha + \phi) = r \sin \alpha \cos \phi + r \cos \alpha \sin \phi$$

- ▶ Substitution ($a_x = r \cdot \cos \alpha$ und $a_y = r \cdot \sin \alpha$)

$$b_x = a_x \cos \phi - a_y \sin \phi$$

$$b_y = a_y \cos \phi + a_x \sin \phi$$

- ▶ Matrix: Abb. von **a** auf **b** bzw. Rotation um ϕ gegen den Uhrzeigersinn

$$\text{rotate}(\phi) = \mathbf{R}(\phi) = \begin{pmatrix} \cos \phi & -\sin \phi \\ \sin \phi & \cos \phi \end{pmatrix}$$

Zusammengesetzte 2D Transformationen

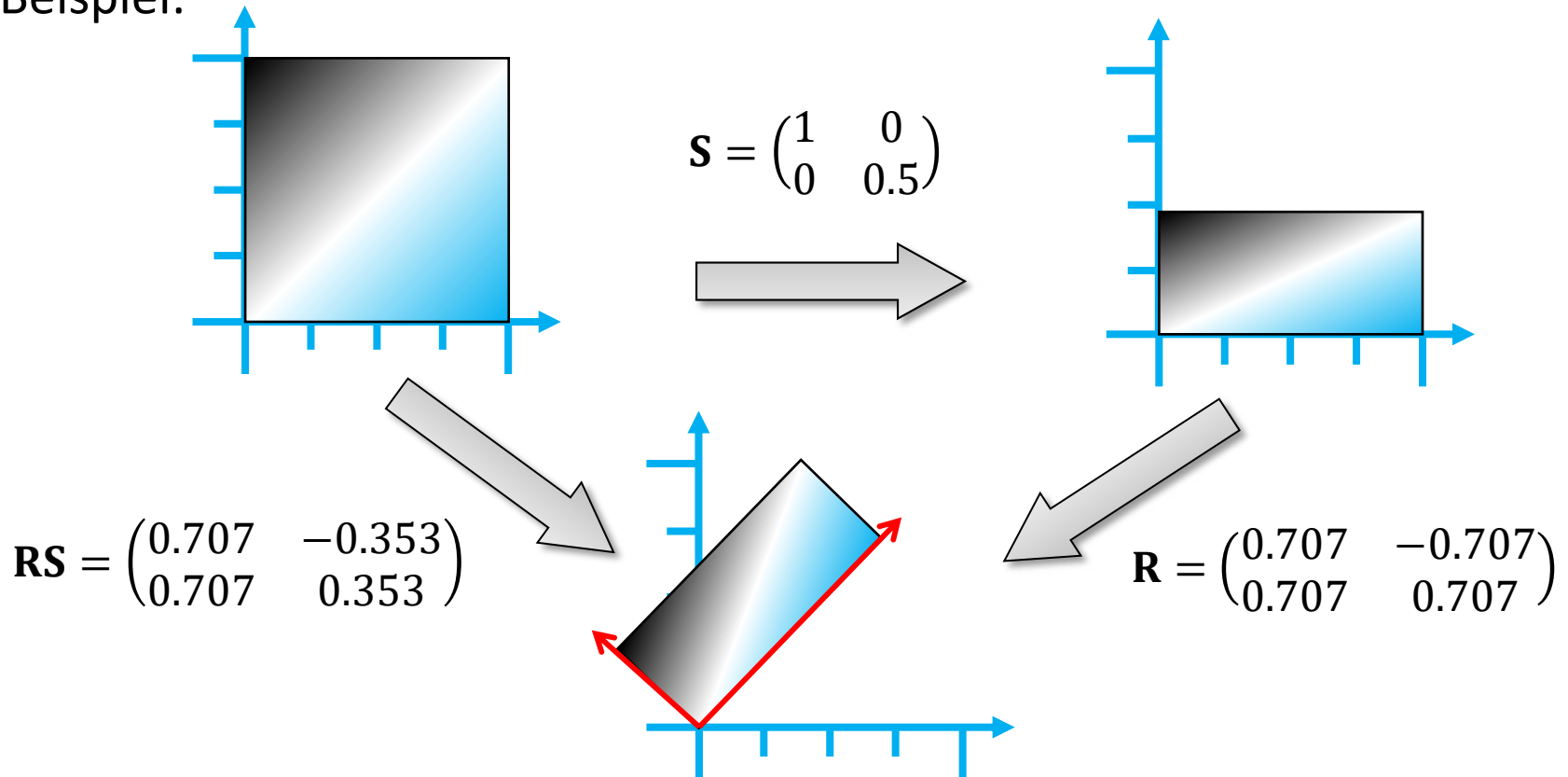
Hintereinanderausführung von Transformationen

- ▶ häufig in der Computergrafik,
Hintereinanderausführung = Matrixmultiplikation

- ▶ erste Transformation: $\mathbf{v}_2 = \mathbf{S}\mathbf{v}_1$

- ▶ zweite Transformation: $\mathbf{v}_3 = \mathbf{R}\mathbf{v}_2$ bzw. $\mathbf{v}_3 = \mathbf{R}(\mathbf{S}\mathbf{v}_1) = (\mathbf{R}\mathbf{S})\mathbf{v}_1$

- ▶ Beispiel:



Hintereinanderausführung von Transformationen

- ▶ Effekt zweier (allg. mehrerer) Transformationen durch eine Matrix

$$\mathbf{v}_3 = (\mathbf{RS})\mathbf{v}_1 = \mathbf{M}\mathbf{v}_1$$

- ▶ Transformationen werden von rechts angewendet
- ▶ hier: erst **S**, dann **R**

- ▶ Matrix-Multiplikation
 - ▶ $\mathbf{A} \in \mathbb{R}^{m \times n}$, $\mathbf{B} \in \mathbb{R}^{n \times p}$, $\mathbf{C} = \mathbf{AB}$ ($\in \mathbb{R}^{m \times p}$) mit $c_{ij} = \sum_{k=1}^n a_{ik}b_{kj}$
 c_{ij} ist Skalarprodukt der i -ten Zeile von **A** und der j -ten Spalte von **B**
 - ▶ Eigenschaften
 - ▶ assoziativ $(\mathbf{RS})\mathbf{T} = \mathbf{R}(\mathbf{ST})$
 - ▶ **nicht** kommutativ $\mathbf{RS} \neq \mathbf{SR}$
→ die Reihenfolge der Transformationen ist entscheidend

Matrixmultiplikation



▶ Beispiel: Falksches Schema

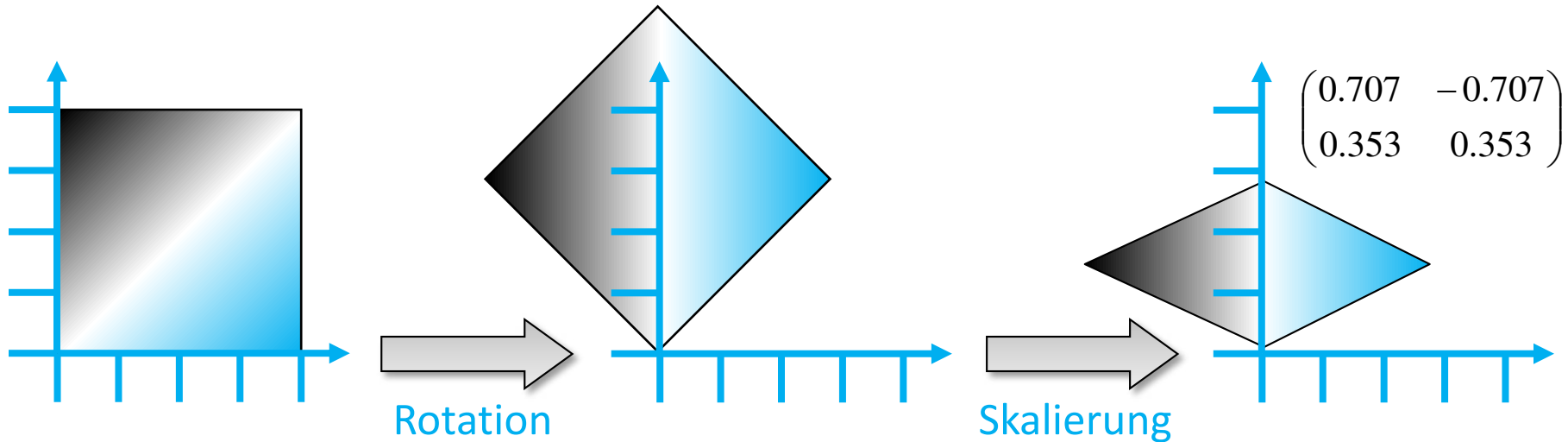
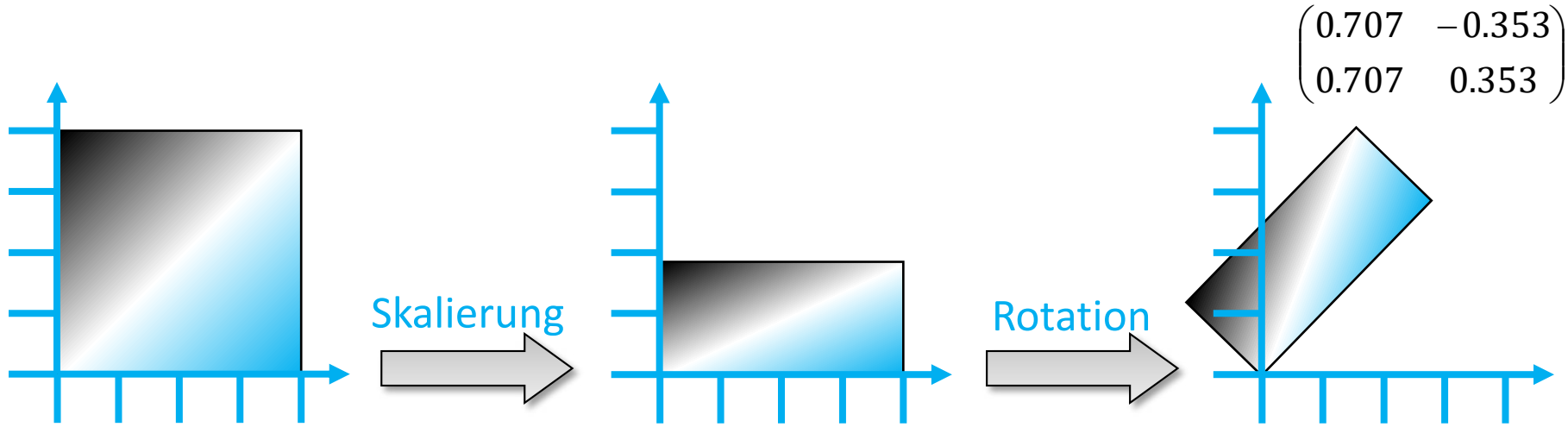
▶ $\mathbf{A} \in \mathbb{R}^{m \times n}$, $\mathbf{B} \in \mathbb{R}^{n \times p}$, $\mathbf{C} = \mathbf{AB} \in \mathbb{R}^{m \times p}$ mit $c_{ij} = \sum_{k=1}^n a_{ik} b_{kj}$

▶ Element c_{32} entsteht aus dem Skalarprodukt der 3. Zeile von \mathbf{A} und der 2. Spalte von \mathbf{B}

					2	2	3	B	
					-2	-1	2		
					3	4	1		
					-3	4	0		
					1	-3	4		
A	2	-1	0	3	-4	-7	29	-12	C = AB
	3	-2	2	1	0	13	20	7	
	-1	3	-1	-2	-4	-9	-5	-14	
	3	3	-4	2	-2	-20	1	3	

Zusammengesetzte 2D Transformationen

Reihenfolge der Transformationen ist entscheidend



Repräsentationen von Rotationen in 3D



Verschiedene Darstellungen/Beschreibungen

- ▶ orthogonale Matrizen
- ▶ Rotationsachse und -winkel
- ▶ Euler Rotationen:
 - ▶ $\mathbf{R}_z \rightarrow \mathbf{R}_x \rightarrow \mathbf{R}_z$
 - ▶ $\mathbf{R}_z \rightarrow \mathbf{R}_y \rightarrow \mathbf{R}_z$
 - ▶ $\mathbf{R}_x \rightarrow \mathbf{R}_y \rightarrow \mathbf{R}_z$
- ▶ (Einheits-)Quaternionen $x_0 + x_1i + x_2j + x_3k$
- ▶ 2 planare Spiegelungen
- ▶ ...

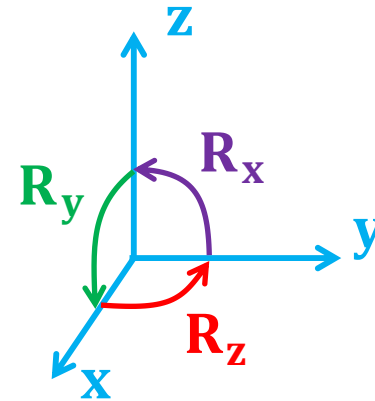
Rotation um die x -, y - bzw. z -Achse

- ▶ \mathbf{R}_x dreht die y -Achse in Richtung z -Achse,
 \mathbf{R}_y dreht die z -Achse in Richtung x -Achse und
 \mathbf{R}_z dreht die x -Achse in Richtung y -Achse

$$\mathbf{R}_x(\phi) = \begin{pmatrix} 1 & 0 & 0 \\ 0 & \cos \phi & -\sin \phi \\ 0 & \sin \phi & \cos \phi \end{pmatrix}$$

$$\mathbf{R}_y(\phi) = \begin{pmatrix} \cos \phi & 0 & \sin \phi \\ 0 & 1 & 0 \\ -\sin \phi & 0 & \cos \phi \end{pmatrix}$$

$$\mathbf{R}_z(\phi) = \begin{pmatrix} \cos \phi & -\sin \phi & 0 \\ \sin \phi & \cos \phi & 0 \\ 0 & 0 & 1 \end{pmatrix}$$



Rotationen allgemein

- ▶ repräsentiert durch **orthogonale** Matrizen (orientierungserhaltend, Zeilen- und Spaltenvektoren **paarweise orthonormal**)
- ▶ eine quadratische, reelle Matrix ist orthogonal, wenn gilt:

$$\mathbf{M}^T \cdot \mathbf{M} = \mathbf{M} \cdot \mathbf{M}^T = I_{n \times n} \text{ und } |\det(\mathbf{M})| = 1$$

- ▶ es gilt also: $\mathbf{M}^{-1} = \mathbf{M}^T$
- ▶ die algebraische Inverse ist auch die geometrische Inverse: auch \mathbf{M}^{-1} bzw. \mathbf{M}^T sind Rotationsmatrizen

3D Transformationen: Rotationen

Rotation des Koordinatensystems $\mathbf{u}, \mathbf{v}, \mathbf{w}$ auf das kartesische KoSys

▶ geg. drei Vektoren $\mathbf{u}, \mathbf{v}, \mathbf{w}$, die ein orthonormales System bilden

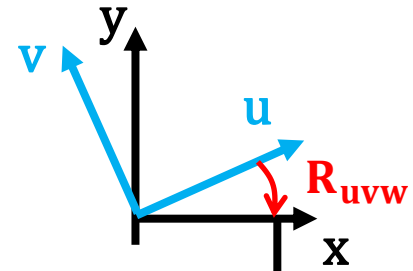
▶ Rotationsmatrix $\mathbf{R}_{\mathbf{uvw}} = \begin{pmatrix} u_x & u_y & u_z \\ v_x & v_y & v_z \\ w_x & w_y & w_z \end{pmatrix}$

▶ $\mathbf{R}_{\mathbf{uvw}}$ bildet die Basisvektoren $\mathbf{u}, \mathbf{v}, \mathbf{w}$ durch Rotation auf die kartesischen Achsen ab:

▶ $\mathbf{R}_{\mathbf{uvw}}\mathbf{u} = \begin{pmatrix} u_x & u_y & u_z \\ v_x & v_y & v_z \\ w_x & w_y & w_z \end{pmatrix} \begin{pmatrix} u_x \\ u_y \\ u_z \end{pmatrix} = \begin{pmatrix} \mathbf{u} \cdot \mathbf{u} \\ \mathbf{v} \cdot \mathbf{u} \\ \mathbf{w} \cdot \mathbf{u} \end{pmatrix} = \begin{pmatrix} 1 \\ 0 \\ 0 \end{pmatrix} = \mathbf{x}$

▶ $\mathbf{R}_{\mathbf{uvw}}\mathbf{v} = \mathbf{y}$

▶ $\mathbf{R}_{\mathbf{uvw}}\mathbf{w} = \mathbf{z}$



3D Transformationen: Rotationen

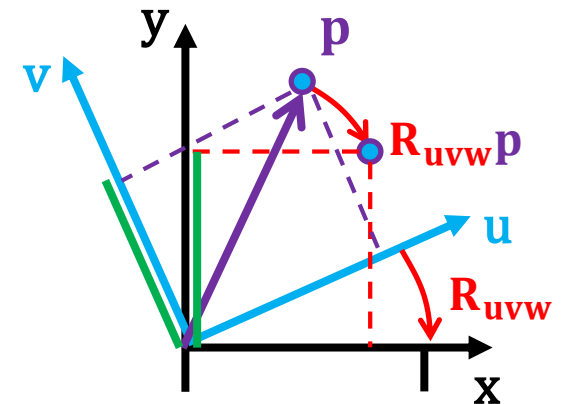
Transformation von Punkten zwischen den Koordinatensystemen

- ▶ R_{uvw} enthält Vektoren \mathbf{u} , \mathbf{v} , \mathbf{w} , die ein orthonormales System bilden, als Zeilenvektoren
- ▶ R_{uvw} bildet \mathbf{u} , \mathbf{v} , \mathbf{w} auf die kartesischen Achsen ab
- ▶ ist ein Punkt \mathbf{p} definiert in kartesischen Koordinaten bzgl. \mathbf{x} , \mathbf{y} , \mathbf{z}

▶ $R_{uvw} \cdot \mathbf{p} = \begin{pmatrix} \mathbf{u} \cdot \mathbf{p} \\ \mathbf{v} \cdot \mathbf{p} \\ \mathbf{w} \cdot \mathbf{p} \end{pmatrix}$ berechnet lokale Koordinaten bzgl. \mathbf{u} , \mathbf{v} , \mathbf{w}

- ▶ $\mathbf{u} \cdot \mathbf{p}$ ist die Projektion von \mathbf{p} auf \mathbf{u} , $\mathbf{v} \cdot \mathbf{p}$...
→ R_{uvw} transformiert \mathbf{p} „in“ das KoSys \mathbf{u} , \mathbf{v} , \mathbf{w}
(berechnet lokale Koordinaten bzgl. \mathbf{u} , \mathbf{v} , \mathbf{w})

- ▶ welcher Rotation für \mathbf{p} entspricht das?



3D Transformationen: Rotationen

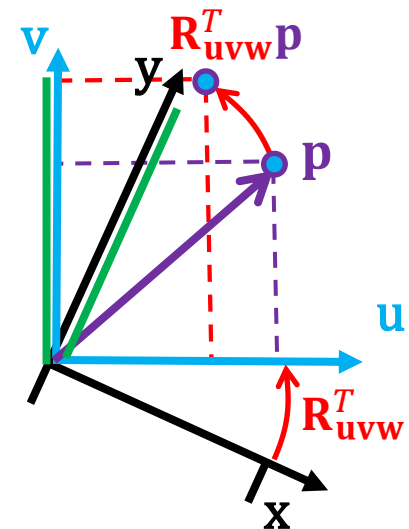
Transformation von Punkten zwischen den Koordinatensystemen

- ▶ \mathbf{R}_{uvw}^T bildet die kartesischen Einheitsvektoren auf \mathbf{u} , \mathbf{v} , \mathbf{w} ab
- ▶ sind die Koordinaten vom Punkt \mathbf{p} gegeben bzgl. KoSys \mathbf{u} , \mathbf{v} , \mathbf{w} dann

$$\text{▶ } \mathbf{R}_{uvw}^T \cdot \mathbf{p} = \begin{pmatrix} u_x p_x & v_x p_y & w_x p_z \\ u_y p_x & v_y p_y & w_y p_z \\ u_z p_x & v_z p_y & w_z p_z \end{pmatrix} = \mathbf{u} \cdot p_x + \mathbf{v} \cdot p_y + \mathbf{w} \cdot p_z$$

berechnet kartesische Koordinaten von \mathbf{p} im globalen KoSys

- ▶ \mathbf{R}_{uvw}^T transformiert \mathbf{p} „aus“ dem KoSys \mathbf{u} , \mathbf{v} , \mathbf{w}



Rotation um eine beliebige Achse



Rotation um eine Achse \mathbf{d} um den Winkel ϕ

- ▶ bestimme (irgendein) orthonormales KoSys mit \mathbf{d} als eine der Achsen
 - ▶ sei $\mathbf{d} = (d_x, d_y, d_z)$ mit $|\mathbf{d}| = 1$
 - ▶ wähle z.B. $\mathbf{e} = \frac{1}{\sqrt{d_y^2 + d_z^2}} (0, -d_z, d_y)$ und $\mathbf{f} = \mathbf{d} \times \mathbf{e}$
 - ▶ Abbildung von \mathbf{d} auf die \mathbf{x} -Achse des kartesischen KoSys (analog \mathbf{e} auf \mathbf{y} und \mathbf{f} auf \mathbf{z}): transformiert einen Punkt in das KoSys $\mathbf{d}, \mathbf{e}, \mathbf{f}$

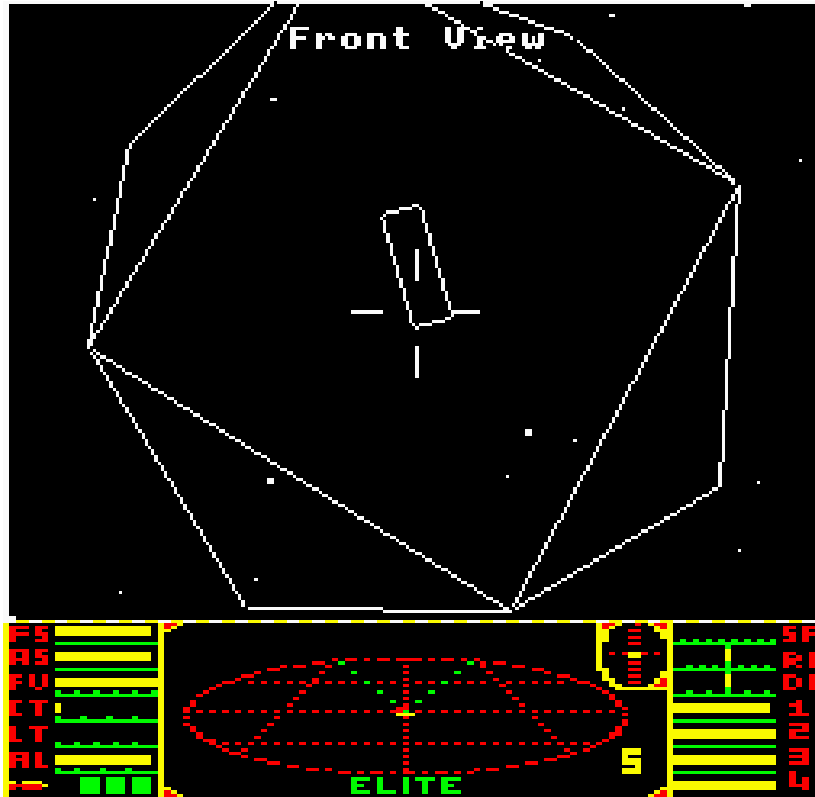
$$\mathbf{M} = \begin{pmatrix} \mathbf{d}^T \\ \mathbf{e}^T \\ \mathbf{f}^T \end{pmatrix} = \begin{pmatrix} d_x & d_y & d_z \\ e_x & e_y & e_z \\ f_x & f_y & f_z \end{pmatrix}$$

- ▶ Rotation um die \mathbf{x} -Achse (dann im KoSys $\mathbf{d}, \mathbf{e}, \mathbf{f}$): $\mathbf{R}_x(\phi)$
- ▶ Transformation zurück in das ursprüngliche KoSys: $\mathbf{M}^{-1} = \mathbf{M}^T$
- ▶ vollständige Matrix

$$\mathbf{R}_{\mathbf{d},\phi} = \mathbf{M}^{-1} \mathbf{R}_x(\phi) \mathbf{M}$$

Elite (space trading video game)

- ▶ Original von 1984 auf dem BBC Micro (2 MHz 6502, 16-32 KiB RAM) von David Braben und Ian Bell



Euler Rotationen

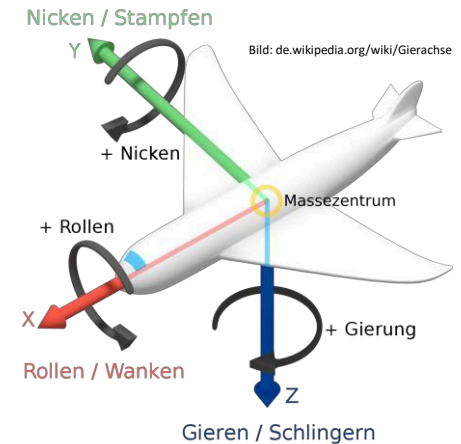
- ▶ jede Rotation kann durch 3 Rotationen um die Hauptachsen (x, y, z) ausgedrückt werden (Leonhard Euler 1707 – 1783, Gerolamo Cardano 1501 – 1576)

- ▶ man kann auch andere Achsen und Reihenfolgen festlegen, z.B. Luftfahrtnorm (DIN 9300) mit Yaw-Pitch-Roll z, y', x''

- ▶ sind die Rotationen um die x -, y - bzw. z -Achse ψ , θ und ϕ dann ist die Rotationsmatrix:

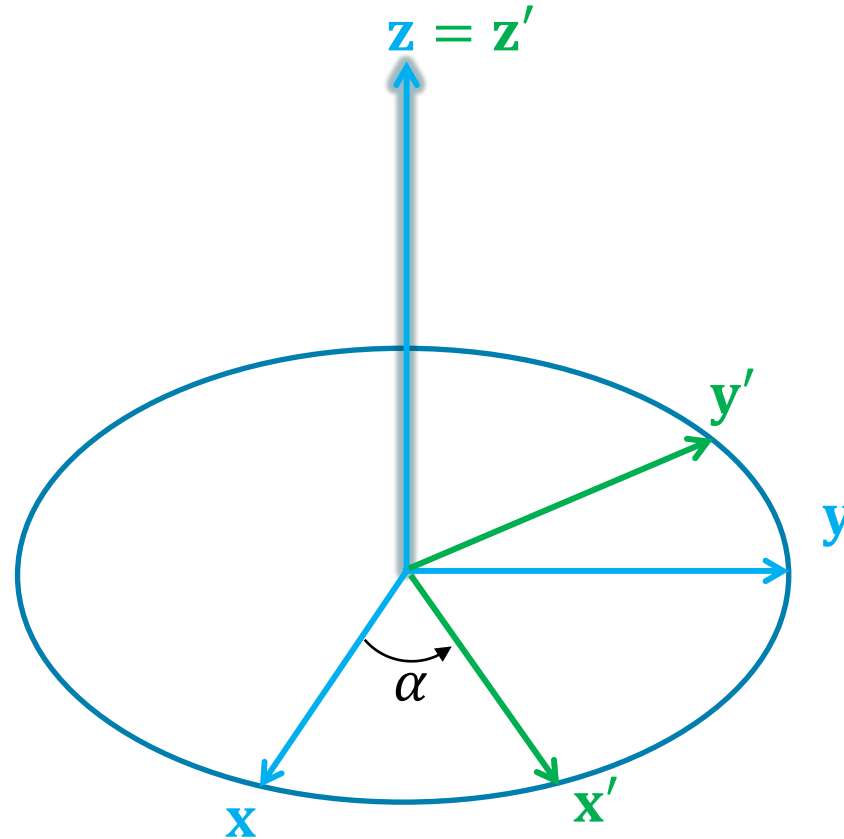
$$\mathbf{R} = \mathbf{R}_z(\phi)\mathbf{R}_y(\theta)\mathbf{R}_x(\psi) = \begin{pmatrix} \cos \theta \cos \phi & \sin \psi \sin \theta \cos \phi - \cos \psi \sin \phi & \cos \psi \sin \theta \cos \phi + \sin \psi \sin \phi \\ \cos \theta \sin \phi & \sin \psi \sin \theta \sin \phi + \cos \psi \cos \phi & \cos \psi \sin \theta \sin \phi - \sin \psi \cos \phi \\ -\sin \theta & \sin \psi \cos \theta & \cos \psi \cos \theta \end{pmatrix}$$

- ▶ die Winkel ψ , θ und ϕ heißen Euler- bzw. Kardanwinkel
 - ▶ ... und beschreiben die Orientierung eines Objektes
 - ▶ ... *zusammen mit* der Festlegung der Achsen und der Reihenfolge



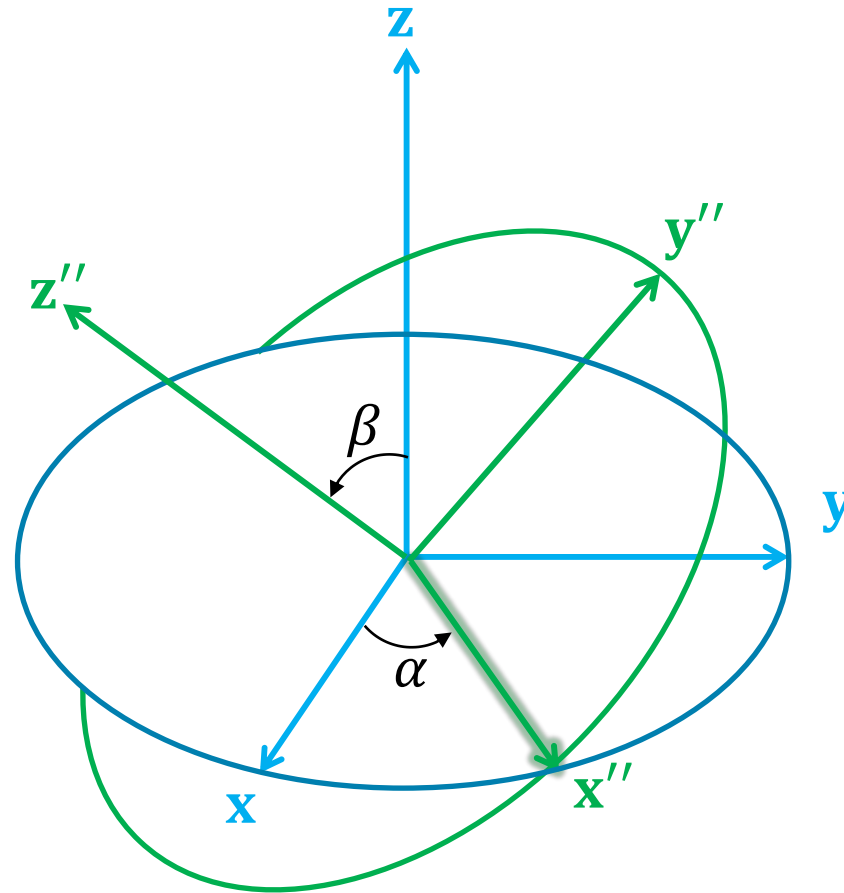
Euler Rotationen

- ▶ Rotation kann durch Eulerrotation $\mathbf{R} = \mathbf{R}_z(\gamma)\mathbf{R}_x(\beta)\mathbf{R}_z(\alpha)$ ausgedrückt werden, also Eulerwinkel α, β, γ für die Rotation um **z-x-z**



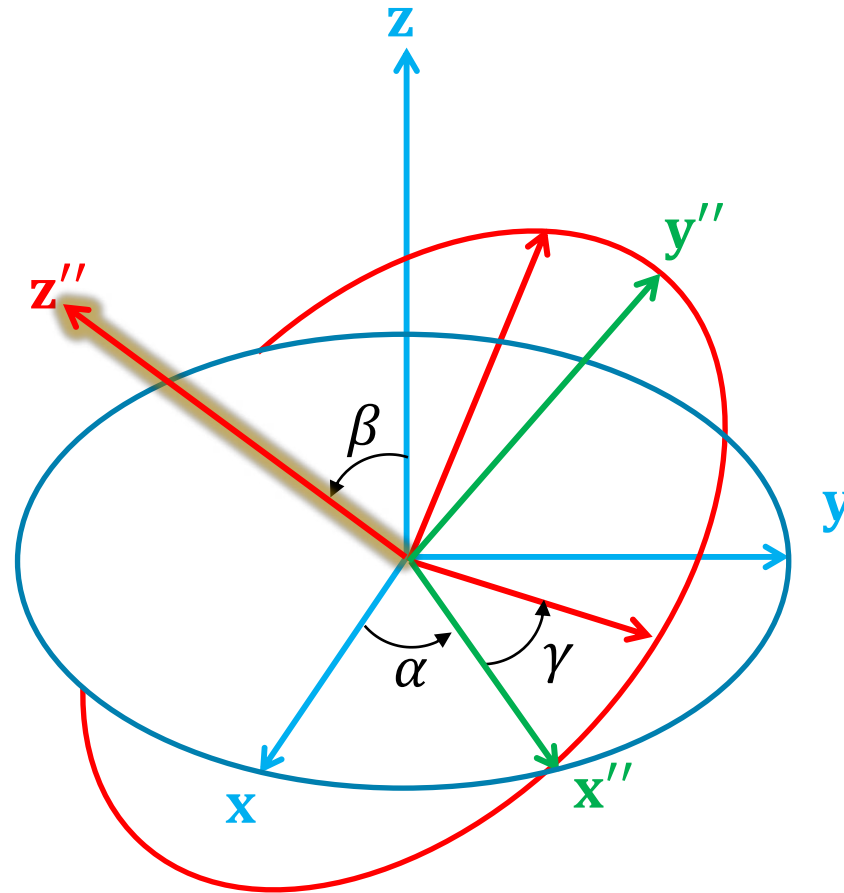
Euler Rotationen

- ▶ Eulerwinkel α , β , γ für die Rotation um **z-x-z**



Euler Rotationen

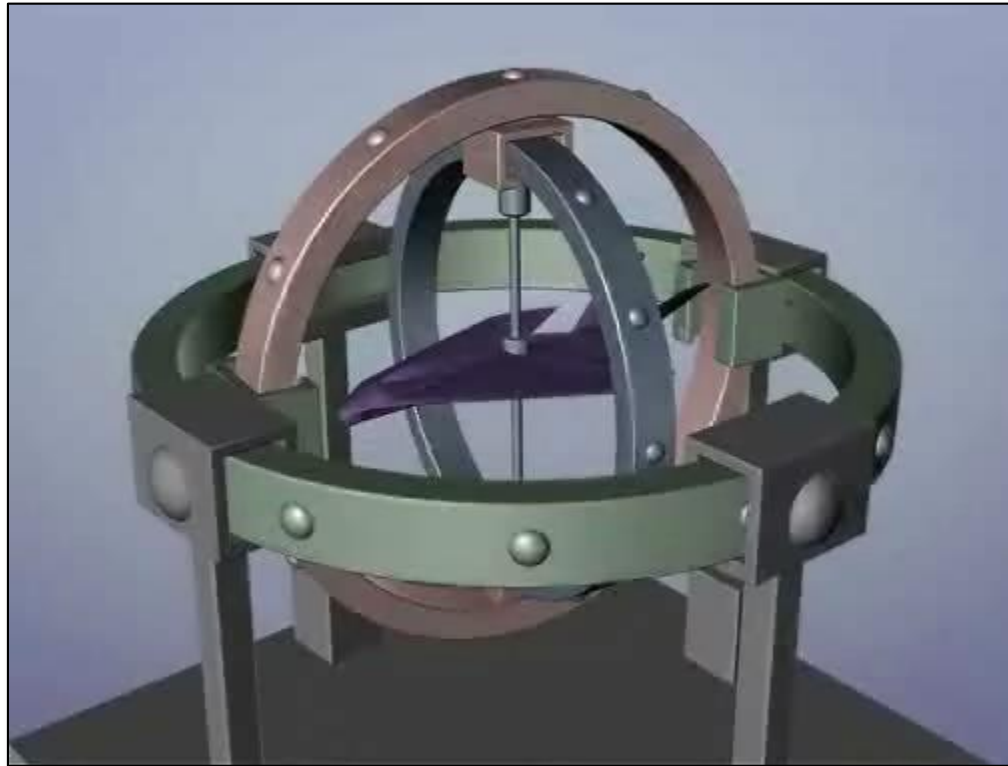
- ▶ Eulerwinkel α , β , γ für die Rotation um **z-x-z**



- ▶ wenn eine Rotationsmatrix \mathbf{R} und eine Achsenkonvention vorgegeben ist, können die Eulerwinkel abgelesen werden
- ▶ $\mathbf{R}_{\psi,\theta,\phi} = \mathbf{R}_z(\phi)\mathbf{R}_y(\theta)\mathbf{R}_x(\psi) =$
$$\begin{pmatrix} \cos \theta \cos \phi & \sin \psi \sin \theta \cos \phi - \cos \psi \sin \phi & \cos \psi \sin \theta \cos \phi + \sin \psi \sin \phi \\ \cos \theta \sin \phi & \sin \psi \sin \theta \sin \phi + \cos \psi \cos \phi & \cos \psi \sin \theta \sin \phi - \sin \psi \cos \phi \\ -\sin \theta & \sin \psi \cos \theta & \cos \psi \cos \theta \end{pmatrix}$$
- ▶ $\mathbf{R} = \begin{pmatrix} R_{11} & R_{12} & R_{13} \\ R_{21} & R_{22} & R_{23} \\ R_{31} & R_{32} & R_{33} \end{pmatrix} \Rightarrow R_{31} = -\sin \theta, \frac{R_{32}}{R_{33}} = \tan \psi, \frac{R_{21}}{R_{11}} = \tan \phi$
- ▶ Bemerkung:
 - ▶ die Lösung ist nicht eindeutig
 - ▶ es gibt Spezialfälle, z.B. $\cos \theta = 0$

Kardanische Blockade (engl. Gimbal Lock)

- ▶ Problem bei der Eulerrotation: die 1. und 3. Rotationsachse können zusammenfallen, d.h. nur Summe aus 1. und 3. Winkel ist relevant und es fehlt ein Freiheitsgrad
- ▶ Anm. die Apparatur im Video nennt sich kardanische Aufhängung



<http://www.youtube.com/watch?v=zc8b2Jo7mno>

Matrixinversion

- ▶ inverse Matrix → inverse geometrische Transformation
- ▶ Matrixinversion im Allgemeinen kein triviales Problem
 - ▶ Adjungierte, Cramersche Regel, LU Zerlegung, Gauß-Elimination
 - ▶ ineffizient (im Vergleich zum Ansatz unten), u.U. numerische Probleme
- ▶ besser: Ausnutzen der Matriceigenschaften wann immer möglich
 - ▶ $\mathbf{S}^{-1}(x, y, z) = \mathbf{S} \left(\frac{1}{x}, \frac{1}{y}, \frac{1}{z} \right)$
 - ▶ $\mathbf{R}^{-1}(\phi) = \mathbf{R}(-\phi)$ oder besser
Orthogonalität ausnutzen: $\mathbf{R}\mathbf{R}^T = \mathbf{R}^T\mathbf{R} = \mathbf{I} \Rightarrow \mathbf{R}^{-1} = \mathbf{R}^T$
 - ▶ $\mathbf{T}^{-1}(x, y, z) = \mathbf{T}(-x, -y, -z)$ (Translation mit Matrix? gleich mehr!)
 - ▶ zusammengesetzte Transformationen: $(\mathbf{A}\mathbf{B})^{-1} = \mathbf{B}^{-1}\mathbf{A}^{-1}$
- ▶ natürlich sind nicht alle Transformationen invertierbar (z.B. Projektionen, $\mathbf{S}(0,0,0)$)

▶ affine Abbildung:

Kombination aus linearer Abbildung und Translation (hier in 2D)

$$\mathbf{x} \mapsto \mathbf{Ax} + \mathbf{b} = \begin{pmatrix} a_{11} & a_{12} \\ a_{21} & a_{22} \end{pmatrix} \begin{pmatrix} x_1 \\ x_2 \end{pmatrix} + \begin{pmatrix} b_1 \\ b_2 \end{pmatrix}$$

▶ Eigenschaften

- ▶ Linien werden auf Linien abgebildet
- ▶ parallele Linien bleiben parallel
- ▶ teilverhältnistreu
- ▶ nicht winkelerhaltend
- ▶ Beispiele: Rotationen, Translationen, Skalierung, Scherung

Projektiver Raum

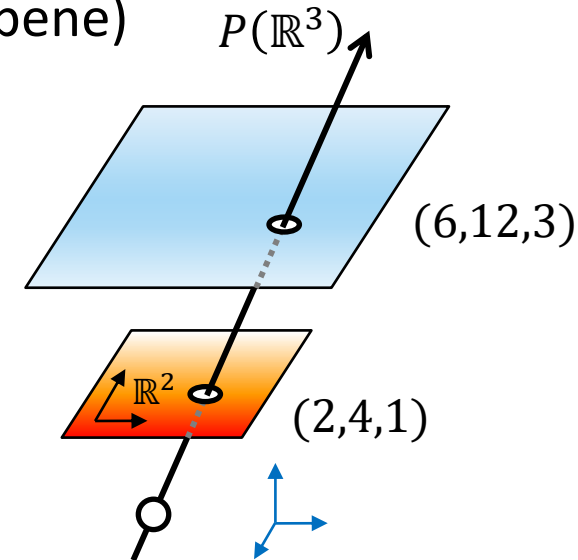
- ▶ parallele Geraden im affinen Raum schneiden sich nicht – in einer Projektion allerdings schon – wie formalisiert man das?
 - ▶ Geraden besitzen aber eine Richtung
 - ▶ Idee: wir ergänzen den euklidischen/affinen Raum (z.B. den \mathbb{R}^3 wie wir ihn uns vorstellen) um sog. Fernpunkte oder uneigentliche Punkte, die diese Richtungen beschreiben
- ▶ sogenannte „homogene Koordinaten“ werden verwendet um
 - ▶ affine Punkte und Richtungen zu beschreiben
 - ▶ Translationen durch Matrizen auszudrücken



Homogene Koordinaten und projektive Räume (hier \mathbb{R}^2 und $P(\mathbb{R}^3)$)

▶ die Menge aller Geraden durch den Ursprung im \mathbb{R}^3 nennt man den reellen projektiven Raum $P(\mathbb{R}^3)$ (hier projektive Ebene)

- ▶ ein Vektor $\mathbf{v} \in \mathbb{R}^3$ definiert eine Gerade
 - ▶ $\lambda \mathbf{v}$, $\lambda \in \mathbb{R} \setminus \{0\}$ definieren dieselbe Gerade
 - ▶ Dimension $\dim(P(\mathbb{R}^3)) = 2$



▶ Repräsentation von Punkten:
Einbettung des \mathbb{R}^2 in den $P(\mathbb{R}^3)$

- ▶ $(x, y)_{2D} \rightarrow (x, y, 1)_h \equiv \left\{ (x', y', w) \mid \begin{pmatrix} x' \\ y' \\ w \end{pmatrix} = (x, y) \right\}$

▶ Repräsentation von Richtungen

- ▶ $(x, y)_{2D} \rightarrow (x, y, 0)_h$

▶ $P(\mathbb{R}^3)$ enthält also affine Punkte und Richtungen des \mathbb{R}^2 „ohne Fallunterscheidungen“

Homogene Koordinaten

- ▶ einfach: füge „1“ als 3. Koordinate (**homogene Koordinate**) hinzu:

$$(x, y)_{2D} \rightarrow (x, y, 1)_h$$

- ▶ homogene Koordinaten (etwas allgemeiner)

- ▶ $(3x, 3y, 3)_h$, $\left(-\frac{x}{2}, -\frac{y}{2}, -\frac{1}{2}\right)_h$, $(ax, ay, a)_h$ mit $a \neq 0$ repräsentieren denselben Punkt im \mathbb{R}^2

- ▶ **Dehomogenisierung:** $(x, y, w)_h \rightarrow \left(\frac{x}{w}, \frac{y}{w}\right)_{2D}$

- ▶ Ziel: Beschreibung von affinen Punkten und Richtungen, sowie von affinen Abbildungen mit Matrizen

- ▶ Vorteil: zusammengesetzte affine Transformationen

- ▶ mathematische Grundlagen: projektive Geometrie

Affine Abbildung bisher

$$\mathbf{x} \mapsto \mathbf{Ax} + \mathbf{b} = \begin{pmatrix} a_{11} & a_{12} \\ a_{21} & a_{22} \end{pmatrix} \begin{pmatrix} x_1 \\ x_2 \end{pmatrix} + \begin{pmatrix} b_1 \\ b_2 \end{pmatrix}$$

Affine Abbildung mit homogenen Koordinaten

$$\begin{aligned} \mathbf{x} = \begin{pmatrix} x_1 \\ x_2 \end{pmatrix} &\mapsto \begin{pmatrix} x_1 \\ x_2 \\ 1 \end{pmatrix}_h \mapsto \begin{pmatrix} a_{11} & a_{12} & b_1 \\ a_{21} & a_{22} & b_2 \\ 0 & 0 & 1 \end{pmatrix} \begin{pmatrix} x_1 \\ x_2 \\ 1 \end{pmatrix}_h \\ &= \begin{pmatrix} a_{11}x_1 + a_{12}x_2 + b_1 \\ a_{21}x_1 + a_{22}x_2 + b_2 \\ 1 \end{pmatrix}_h \mapsto \begin{pmatrix} a_{11}x_1 + a_{12}x_2 + b_1 \\ a_{21}x_1 + a_{22}x_2 + b_2 \end{pmatrix} = \\ &= \begin{pmatrix} a_{11}x_1 + a_{12}x_2 \\ a_{21}x_1 + a_{22}x_2 \end{pmatrix} + \begin{pmatrix} b_1 \\ b_2 \end{pmatrix} = \mathbf{Ax} + \mathbf{b} \end{aligned}$$

- ▶ Anatomie einer affinen Transformation: **linearer Teil** und **Translation** aus dem \mathbb{R}^2 werden zu linearer Abbildung in homogenen Koordinaten

$$\mathbf{M} = \begin{pmatrix} a_{11} & a_{12} & b_1 \\ a_{21} & a_{22} & b_2 \\ 0 & 0 & 1 \end{pmatrix}$$

- ▶ zusammengesetzte Transformationen

$$\mathbf{x} \xrightarrow{\mathbf{T}} \mathbf{T}\mathbf{x} = \mathbf{y} \xrightarrow{\mathbf{S}} \mathbf{S}\mathbf{y} = \mathbf{z} \quad \equiv \quad \mathbf{z} = \mathbf{S} \cdot \mathbf{T} \cdot \mathbf{x}$$

- ▶ Zusammensetzen \equiv Multiplikation
- ▶ inverse Transformation \equiv inverse Matrix
- ▶ **wichtig:** \mathbf{M} und $\lambda\mathbf{M}$ ($\lambda \neq 0$) beschreiben bei homogenen Koordinaten dieselbe Abbildung

Grundlegende 2D Transformationen

- ▶ Translation eines (Orts-)Vektors

$$\begin{pmatrix} x' \\ y' \\ 1 \end{pmatrix}_h = \begin{pmatrix} 1 & 0 & \Delta x \\ 0 & 1 & \Delta y \\ 0 & 0 & 1 \end{pmatrix} \begin{pmatrix} x \\ y \\ 1 \end{pmatrix}_h = \begin{pmatrix} x + \Delta x \\ y + \Delta y \\ 1 \end{pmatrix}_h$$

- ▶ Translation verändert Richtungsvektoren nicht

$$\begin{pmatrix} x' \\ y' \\ 0 \end{pmatrix}_h = \begin{pmatrix} 1 & 0 & \Delta x \\ 0 & 1 & \Delta y \\ 0 & 0 & 1 \end{pmatrix} \begin{pmatrix} x \\ y \\ 0 \end{pmatrix}_h = \begin{pmatrix} x \\ y \\ 0 \end{pmatrix}_h$$

- ▶ Achtung: Transformation von Normalen erfordert spezielle Behandlung (Normale ist ein sog. Bivektor, der senkrecht auf einer Fläche steht)
- ▶ im Folgenden lassen wir das „ h “ weg – es ist i.d.R. aus dem Kontext klar, wann es sich um homogene Koordinaten handelt

Beispiel

- ▶ Rotation in 2D um den Punkt $\mathbf{c} = (c_x, c_y)$ und den Winkel ϕ
- ▶ Schritte: $\mathbf{T}(-\mathbf{c}) \rightarrow \mathbf{R}_z(\phi) \rightarrow \mathbf{T}(\mathbf{c})$

$$\begin{pmatrix} 1 & 0 & c_x \\ 0 & 1 & c_y \\ 0 & 0 & 1 \end{pmatrix} \cdot \begin{pmatrix} \cos \phi & -\sin \phi & 0 \\ \sin \phi & \cos \phi & 0 \\ 0 & 0 & 1 \end{pmatrix} \cdot \begin{pmatrix} 1 & 0 & -c_x \\ 0 & 1 & -c_y \\ 0 & 0 & 1 \end{pmatrix}$$

Grundlegende 3D Transformationen

► Skalierung und Scherung (z unverändert)

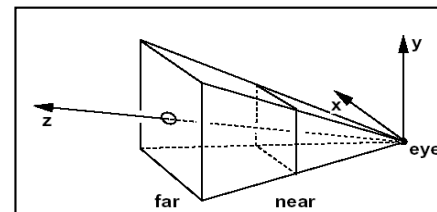
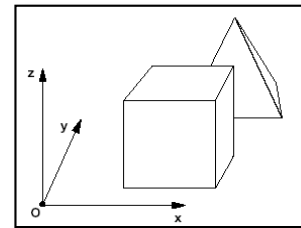
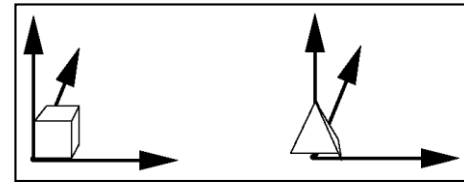
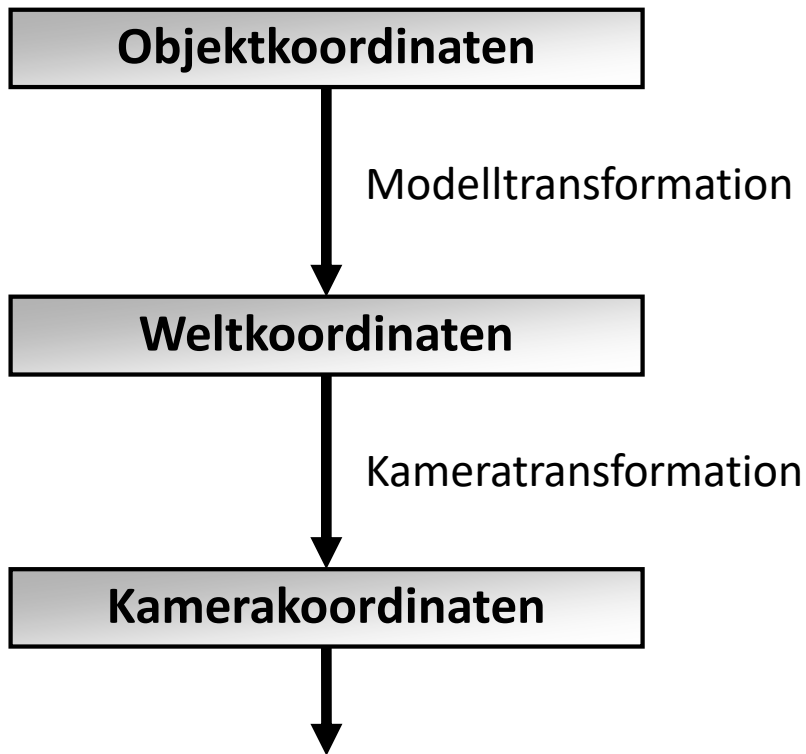
$$\text{scale}(s_x, s_y, s_z) = \begin{pmatrix} s_x & 0 & 0 & 0 \\ 0 & s_y & 0 & 0 \\ 0 & 0 & s_z & 0 \\ 0 & 0 & 0 & 1 \end{pmatrix} \quad \text{shear}_z(d_x, d_y) = \begin{pmatrix} 1 & 0 & d_x & 0 \\ 0 & 1 & d_y & 0 \\ 0 & 0 & 1 & 0 \\ 0 & 0 & 0 & 1 \end{pmatrix}$$

► Rotation um x-, y- und z-Achse

$$R_x(\phi) = \begin{pmatrix} 1 & 0 & 0 & 0 \\ 0 & \cos \phi & -\sin \phi & 0 \\ 0 & \sin \phi & \cos \phi & 0 \\ 0 & 0 & 0 & 1 \end{pmatrix} \quad R_y(\phi) = \begin{pmatrix} \cos \phi & 0 & \sin \phi & 0 \\ 0 & 1 & 0 & 0 \\ -\sin \phi & 0 & \cos \phi & 0 \\ 0 & 0 & 0 & 1 \end{pmatrix} \quad R_z(\phi) = \begin{pmatrix} \cos \phi & -\sin \phi & 0 & 0 \\ \sin \phi & \cos \phi & 0 & 0 \\ 0 & 0 & 1 & 0 \\ 0 & 0 & 0 & 1 \end{pmatrix}$$

Koordinatensysteme in der CG

- ▶ Objekte in einer Szene werden zur Modellierung (Beschreibung) in ihrem eigenen **Objekt- oder Modell-Koordinatensystem** angegeben
- ▶ die Platzierung der Objekte im **Weltkoordinatensystem** erfolgt dann durch Translation, Rotation, Skalierung etc.
- ▶ dann erfolgt – beim Raytracing implizit – die Transformation in das **Kamerakoordinatensystem** oder der **Sichtstrahlen in Weltkoordinaten**



Wechsel zwischen Koordinatensystemen



- ▶ globales/Welt-KoSys: Ursprung \mathbf{o} , Basisvektoren \mathbf{x} , \mathbf{y} (nicht explizit gespeichert) ist Bezugssystem für lokale Koordinatensysteme
- ▶ lokales/Modell-KoSys: Ursprung \mathbf{e} und Basisvektoren \mathbf{u} , \mathbf{v}
- ▶ z.B. Position eines Autos in einer virtuellen Szene

- ▶ Lage des Punktes P: $(p_x, p_y) = (5, 1)$ bzw. $(p_u, p_v) = (1, -2)$

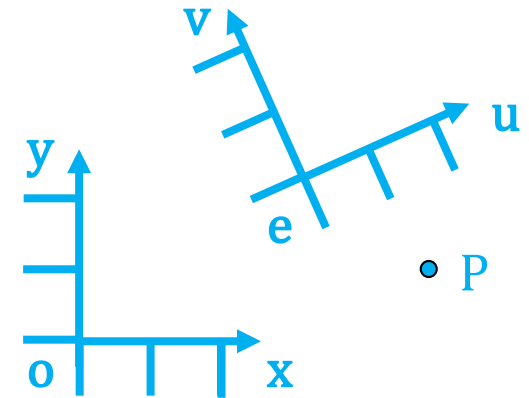
- ▶ ausgedrückt durch die Basisvektoren:

$$P = (p_x, p_y) = \mathbf{e} + p_u \mathbf{u} + p_v \mathbf{v}$$

- ▶ Wechsel der Koordinatensysteme

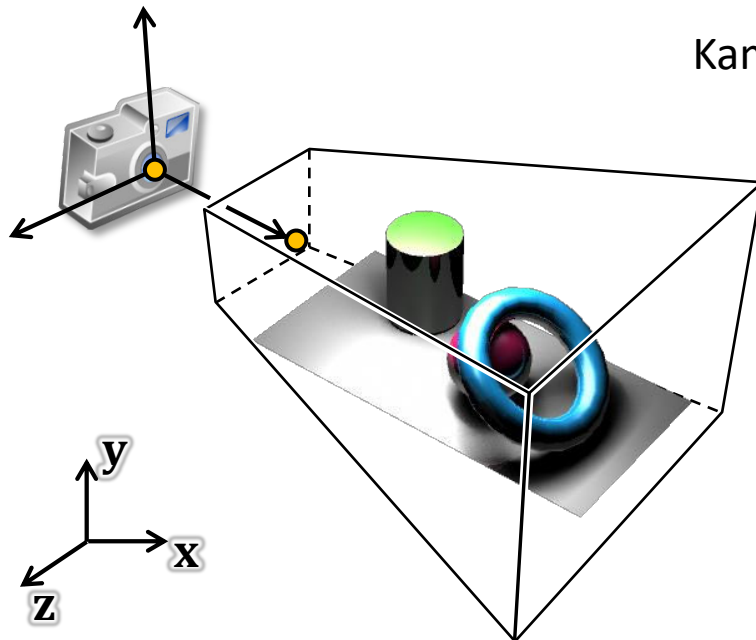
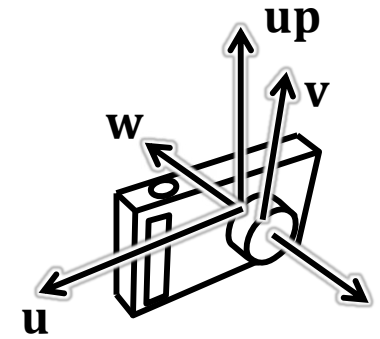
$$\begin{pmatrix} p_x \\ p_y \\ 1 \end{pmatrix} = \begin{pmatrix} 1 & 0 & e_x \\ 0 & 1 & e_y \\ 0 & 0 & 1 \end{pmatrix} \begin{pmatrix} u_x & v_x & 0 \\ u_y & v_y & 0 \\ 0 & 0 & 1 \end{pmatrix} \begin{pmatrix} p_u \\ p_v \\ 1 \end{pmatrix}$$

$$\begin{pmatrix} p_u \\ p_v \\ 1 \end{pmatrix} = \begin{pmatrix} u_x & u_y & 0 \\ v_x & v_y & 0 \\ 0 & 0 & 1 \end{pmatrix} \begin{pmatrix} 1 & 0 & -e_x \\ 0 & 1 & -e_y \\ 0 & 0 & 1 \end{pmatrix} \begin{pmatrix} p_x \\ p_y \\ 1 \end{pmatrix}$$



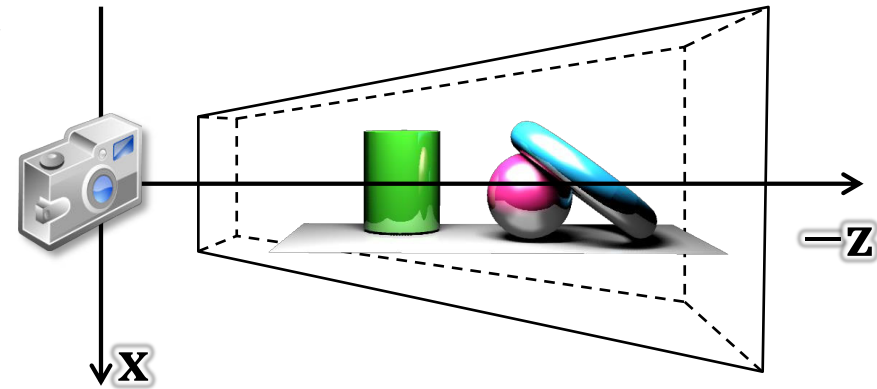
Kameratransformation

- ▶ virtuelle Kamera definiert durch
 - ▶ Position \mathbf{e} und (negative) Blickrichtung \mathbf{w}
 - ▶ „Up-Vektor“ \mathbf{up}
 - ▶ $\Rightarrow \mathbf{u} = \mathbf{up} \times \mathbf{w}$ und $\mathbf{v} = \mathbf{w} \times \mathbf{u}$
 - ▶ $\mathbf{u}, \mathbf{v}, \mathbf{w}$ bilden Basis des Kamera-Koordinatensystems
- ▶ Transformation in dieses Koordinatensystem erleichtert bestimmte nachfolgende Schritte...



Kamera und Sichtpyramide

Kameratransformation

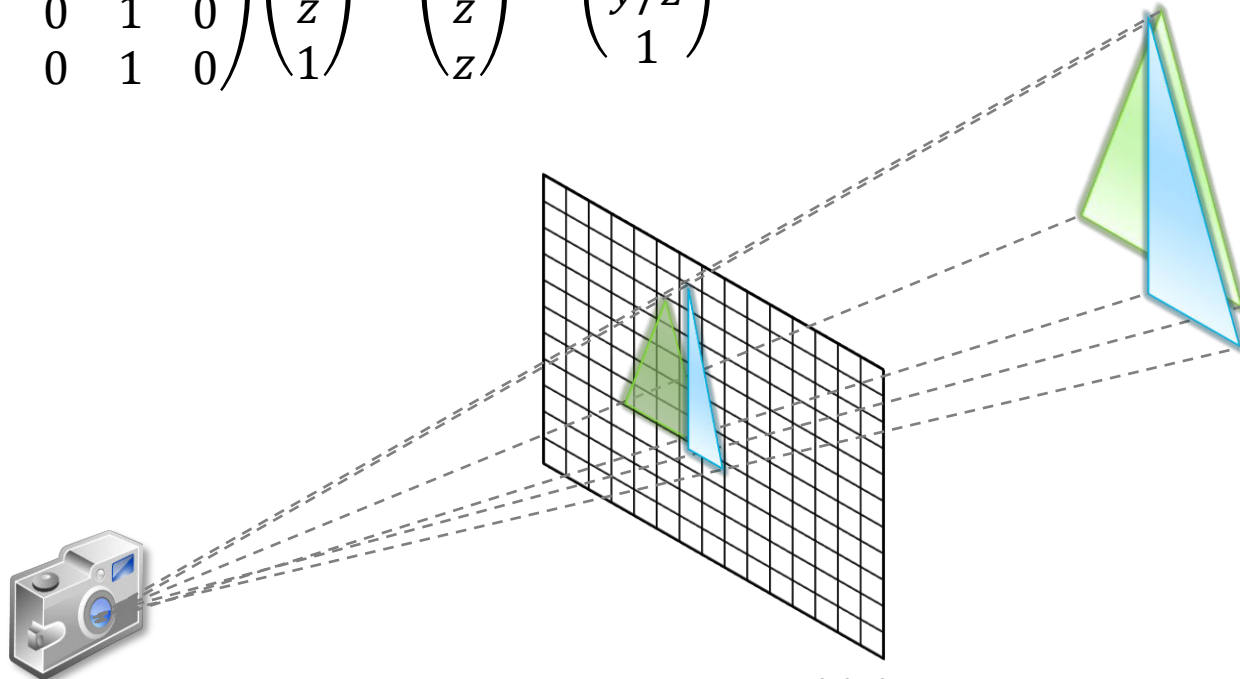
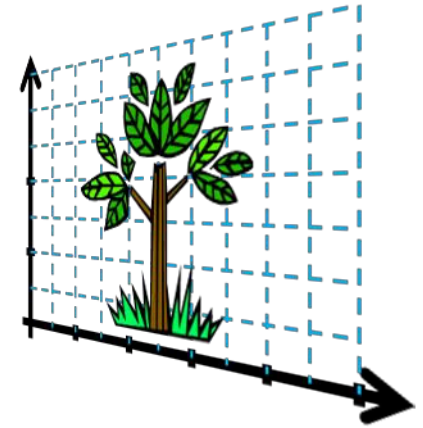


nach der Kameratransformation

Projektive Abbildungen

- ▶ ... wie beispielsweise die Projektion auf die Bildebene
- ▶ projektive Abbildungen besprechen wir später im Kontext von Rasterisierung mit Grafik-Hardware
- ▶ Bsp. Projektion auf $z = 1$ Ebene:

$$\begin{pmatrix} 1 & 0 & 0 & 0 \\ 0 & 1 & 0 & 0 \\ 0 & 0 & 1 & 0 \\ 0 & 0 & 1 & 0 \end{pmatrix} \begin{pmatrix} x \\ y \\ z \\ 1 \end{pmatrix} = \begin{pmatrix} x \\ y \\ z \\ z \end{pmatrix} \mapsto \begin{pmatrix} x/z \\ y/z \\ 1 \end{pmatrix}$$

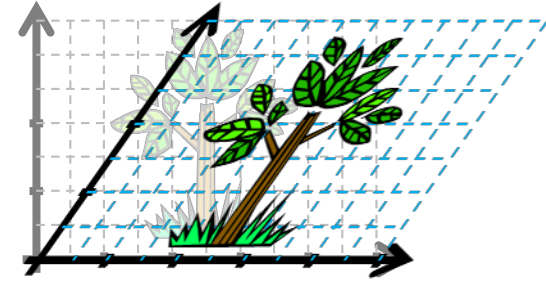


Betrachter

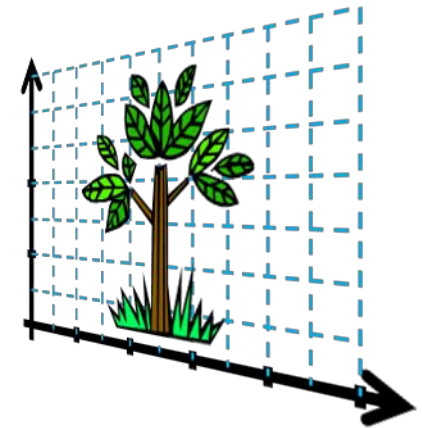
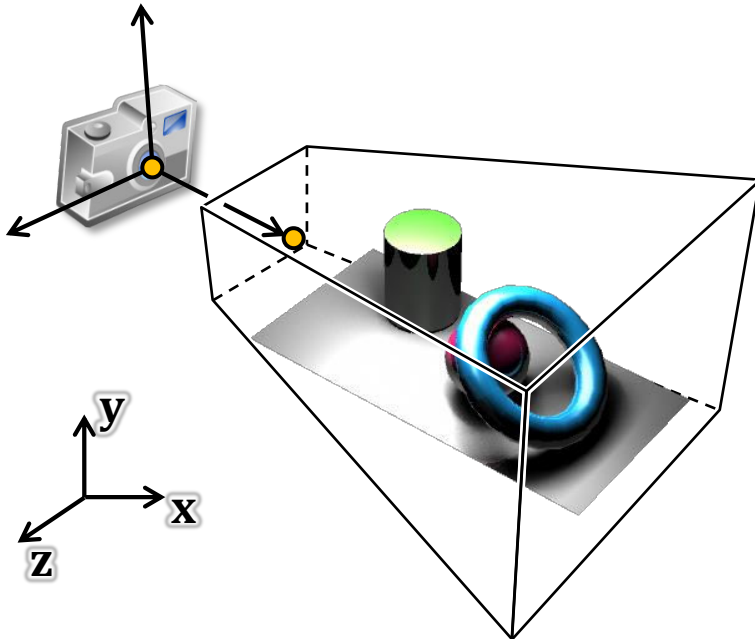
Bildebene

Inhalt

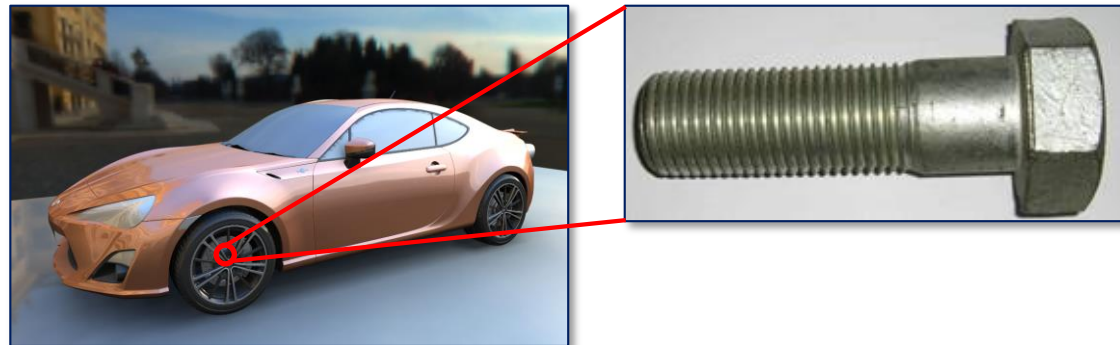
- ▶ ...
- ▶ Homogene Koordinaten
- ▶ Koordinatensysteme in der CG und hierarchische Modellierung
- ▶ Transformation von Normalenvektoren
- ▶ Schnitttests in lokalen Koordinaten



$$\begin{pmatrix} a_{11} & a_{12} & b_1 \\ a_{21} & a_{22} & b_2 \\ 0 & 0 & 1 \end{pmatrix}$$



- ▶ Modelltransformationen sind typischerweise zusammengesetzte Transformationen (Rotation, Skalierung, Translation)
- ▶ aber: es macht die Modellierung komplexer Szenen einfacher, wenn man
 - ▶ mehrfache Kopien („Instanzen“) von Objekten erstellen kann,
 - ▶ Objekte zu Gruppen zusammenfasst und
 - ▶ Gruppen anordnet
- ▶ Beispiel: Modell eines Autos
 - ▶ ein Auto besteht aus Karosserie und 4 Rädern
 - ▶ jedes Rad besteht aus Reifen, Felge und 5 Schrauben
 - ▶ wollen Sie die Schraube 20 mal modellieren? Das Rad 4 mal? Oder die Geometrie mehrfach speichern?



Beispiel für Instancing: Rendering von Vegetation



▶ <https://www.youtube.com/watch?v=AdabPy6xQ8A>



Bild: Unreal Engine 4 Architectural Visualization

Beispiel für Instancing: Rendering von Vegetation



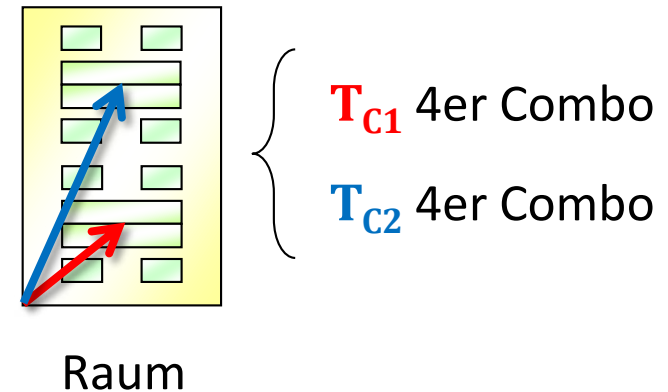
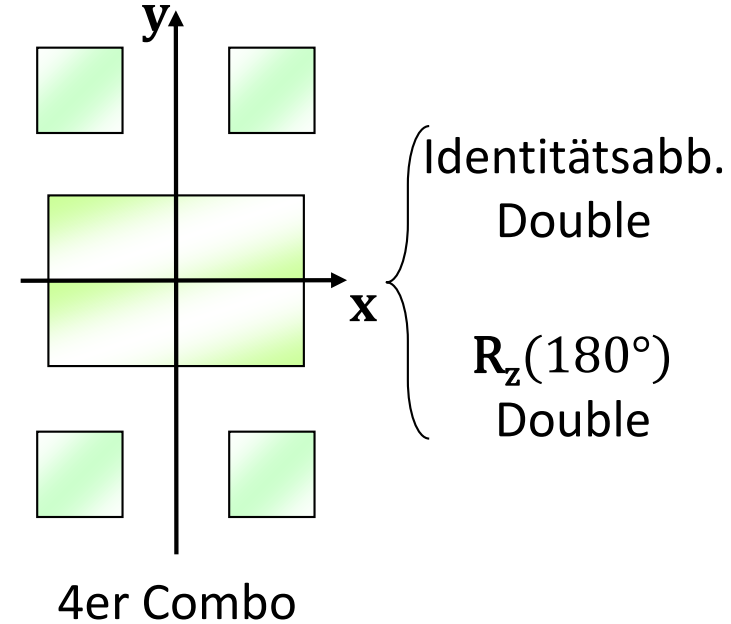
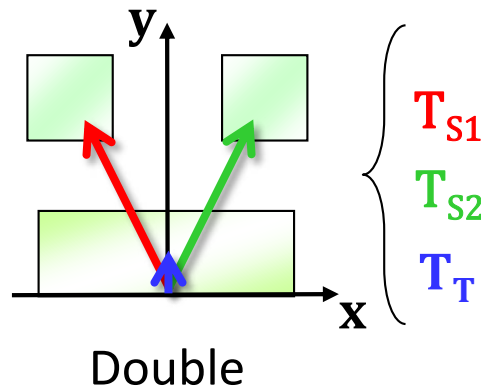
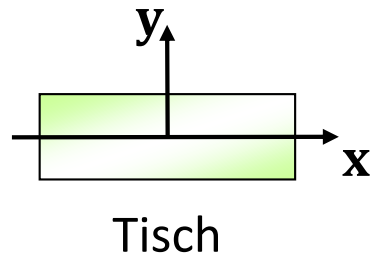
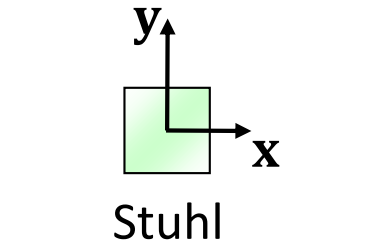
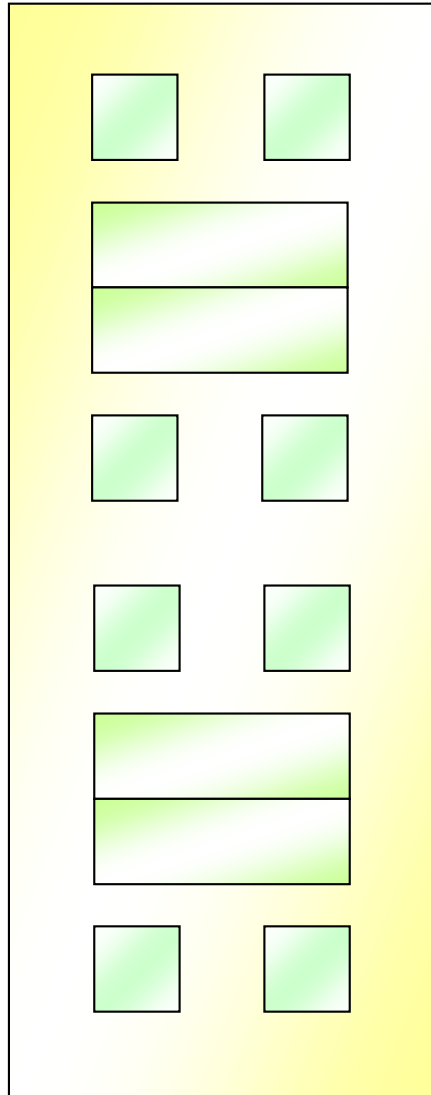
- ▶ große Daten bei Filmproduktionen
 - ▶ Geometrie oft 30+ Gigabytes (oft animiert), 200 GB – 2 TB Texturen



Jungle scene from Kingsman: Golden Circle. © 2017, 20th Century Fox. All rights reserved.
Sony Pictures Imageworks Arnold, Kulla et al. 2018

Hierarchisches Modellieren

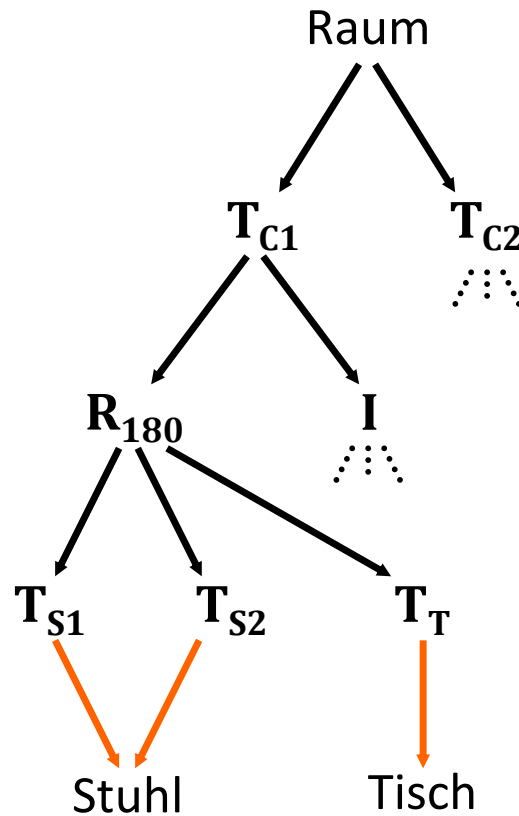
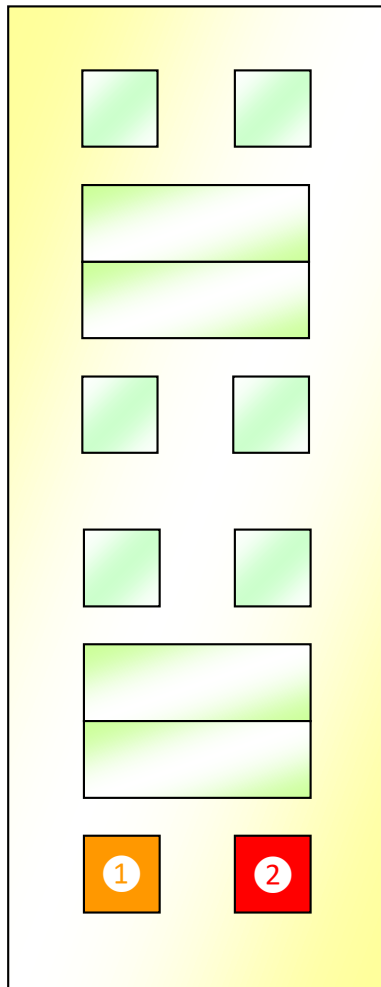
Beispiel: Platzierung von Stühlen und Tischen in einem Raum



Szenengraphen: Hierarchisches Modellieren

Beispiel: Platzierung von Stühlen und Tischen in einem Raum

► es entsteht ein **Szenengraph** (gerichteter azyklischer Graph)



Transformationen
des Stuhls **1** in
Weltkoordinaten:

$$(T_{C1} R_{180} T_{S2})$$

Transformationen
des Stuhls **2** in
Weltkoordinaten:

$$(T_{C1} R_{180} T_{S1})$$

Szenengraphen: Matrix Stacks

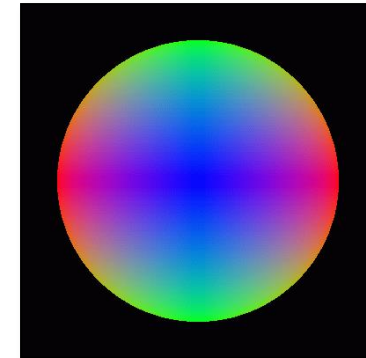
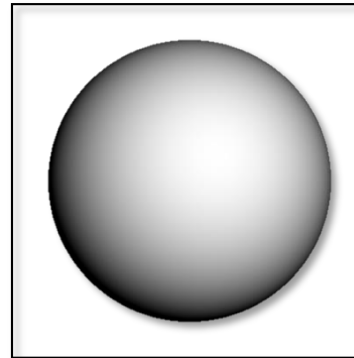
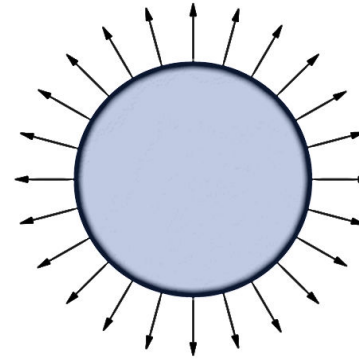
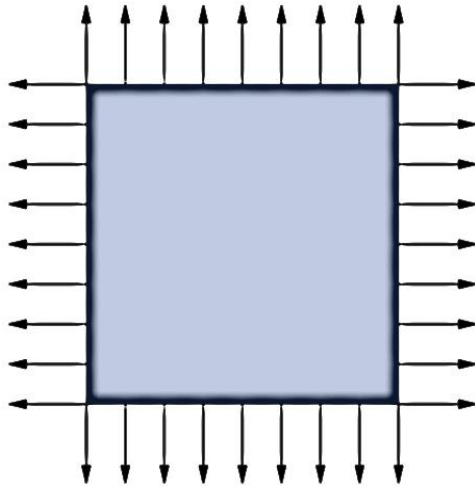


- ▶ Szenengraphen erlauben effiziente Operationen in komplexen Szenen
 - ▶ u.a. die Wiederverwendung von Matrizen mittels **Matrix Stacks**
 - ▶ die jeweils oberste Matrix definiert die aktuelle Transformation
 - ▶ spannender sind sog. Culling-Operationen und andere Optimierungen auf Szenengraphen (siehe InCG im Sommersemester)

Load(I)	Push	Mult(T_{C1})	Push	Mult(R₁₈₀)	Push	Mult(T_{S1})	Stuhl	Pop	...
I	I	I T_{C1}	I T_{C1}	I T_{C1} R	I T_{C1} R	I T_{C1} R T_{S1}		I T_{C1} R	
	I	I	I T_{C1}	I T_{C1}	I T_{C1} R	I T_{C1} R		I T_{C1}	
			I	I	I T_{C1}	I T_{C1}		I	
					I	I			

Transformation von Normalen

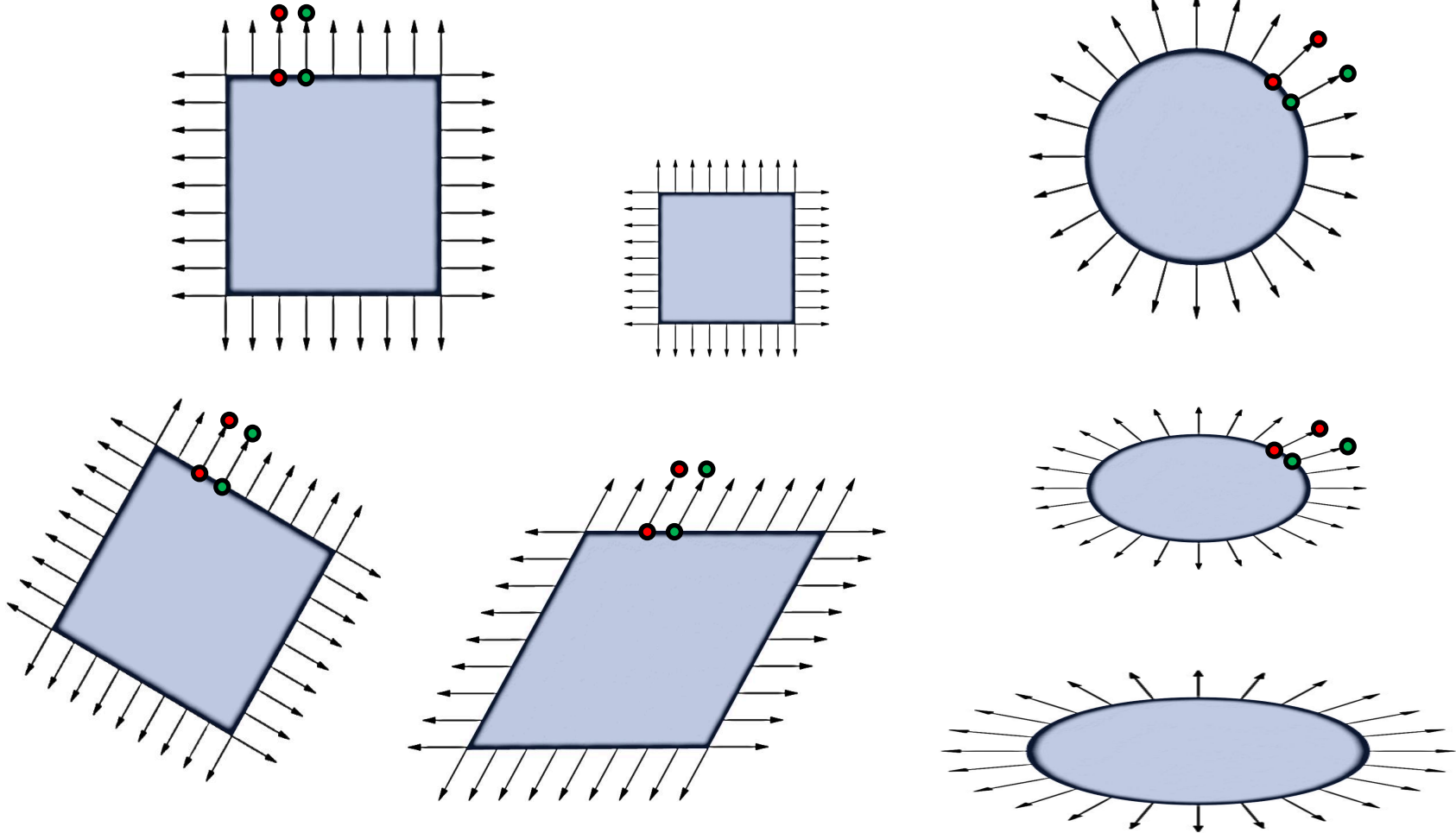
- ▶ Oberflächennormale/Normalenvektor:
Einheitsvektor lokal-senkrecht zur Oberfläche
- ▶ wichtig für Schattierung/Beleuchtung
- ▶ hier: verschiedene Visualisierungen



$\pm x, \pm y, \pm z =$
rot/grün/blau

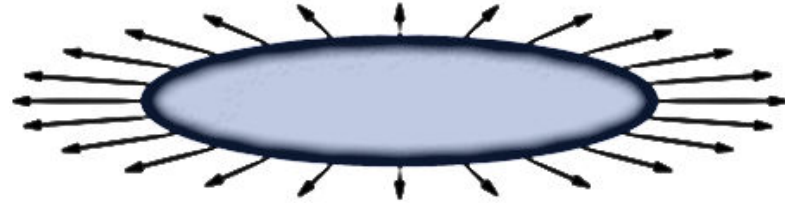
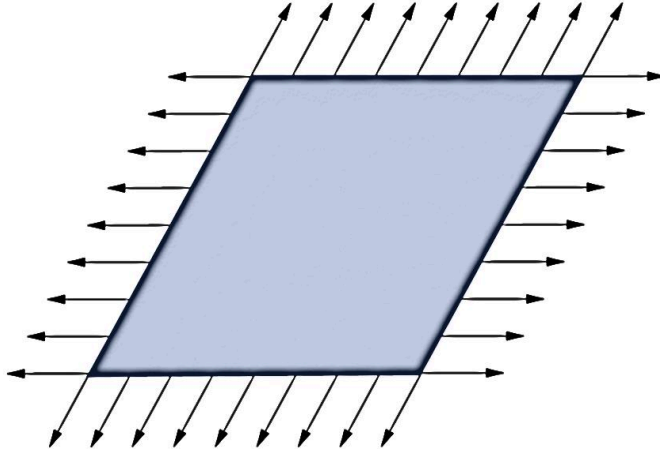
Transformation der Normalen wie Objekte?

- ▶ Translation, Rotation, (isotr.) Skalierung, Spiegelung, Scherung, ...?

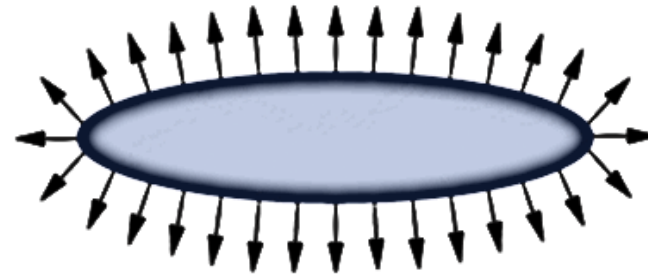
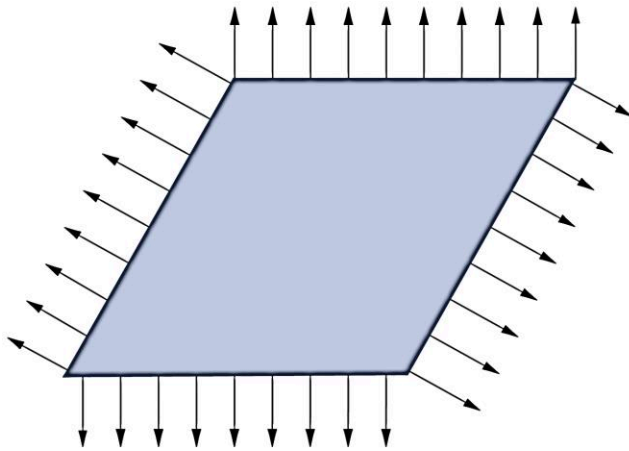


Transformationen für Scherung und Skalierung

▶ falsche Transformation der Normalenvektoren

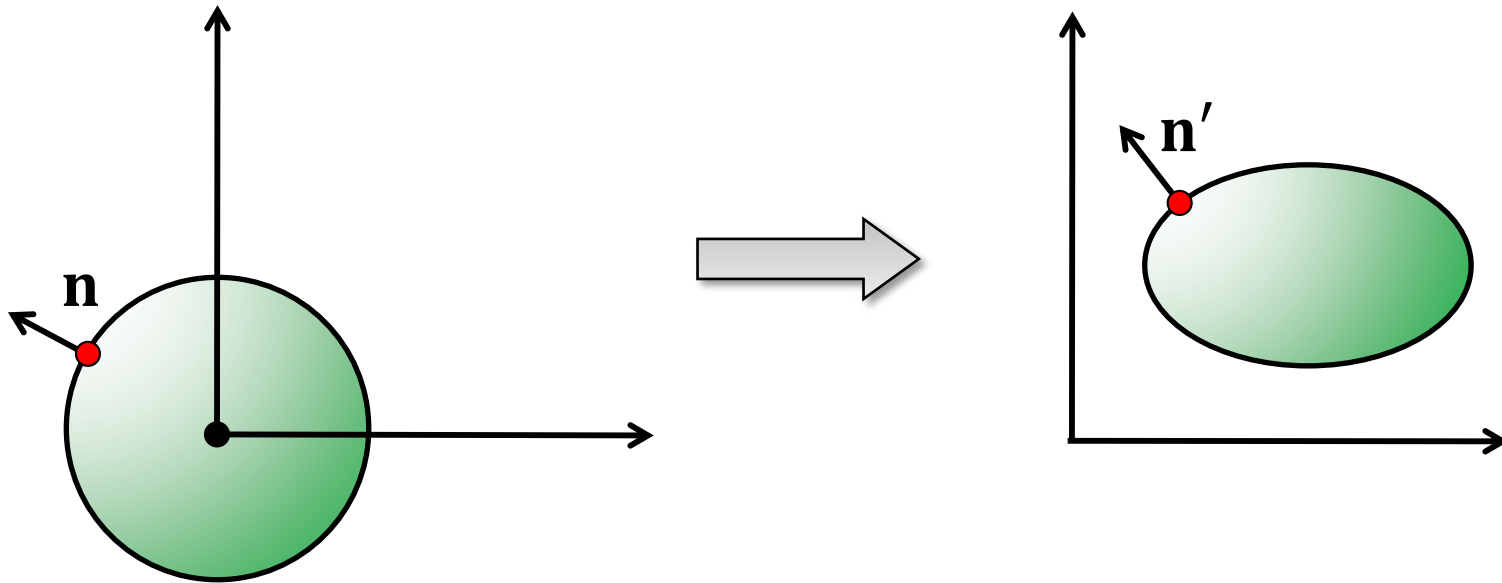


▶ korrekte Transformation der Normalenvektoren



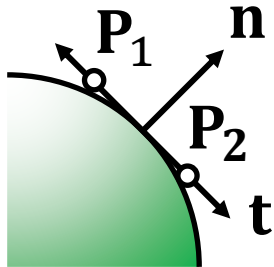
Transformation von Normalen

- ▶ Normalen sind sog. Bivektoren: sie stehen senkrecht auf der Tangentialfläche und nicht durch Differenz zweier Ortsvektoren definiert
- ▶ lineare und affine Transformationen sind i.A. nicht winkeltreu
→ Normalen können nicht einfach mit-transformiert werden
- ▶ wie macht man es also richtig?

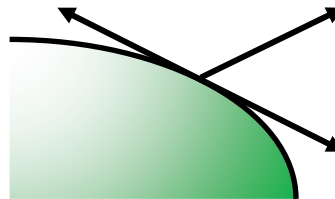


Transformation von Normalen

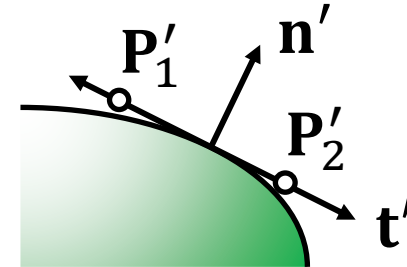
- ▶ wir betrachten zwei Punkte $\mathbf{P}_1, \mathbf{P}_2$ auf der Tangentialebene zur Normale
- ▶ die Normale muss vor und nach der Transformation senkrecht auf dem Differenzvektor stehen



Original



falsch
transformiert



korrekt
transformiert

- ▶ seien \mathbf{P}_1 und \mathbf{P}_2 zwei Punkte in der Tangentialebene und $\mathbf{r} = \mathbf{P}_2 - \mathbf{P}_1$

- ▶ es gilt: $\mathbf{n}^T \cdot \mathbf{r} = 0$

einsetzen: $\mathbf{r} = (\mathbf{M}^{-1}\mathbf{M})\mathbf{r}$

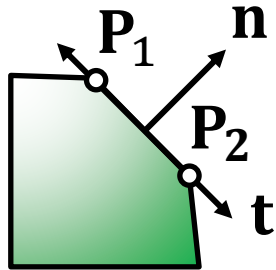
- ▶ $\mathbf{n}^T (\mathbf{M}^{-1}\mathbf{M})\mathbf{r} = 0$

- ▶ $\underbrace{(\mathbf{n}^T \mathbf{M}^{-1})}_{\mathbf{n}'^T} \cdot \underbrace{(\mathbf{M}\mathbf{r})}_{\mathbf{r}'} = 0$

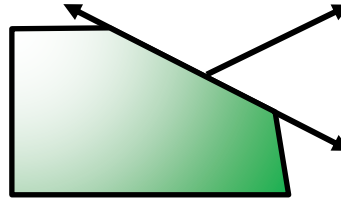
- ▶ wenn $\mathbf{n}'^T = (\mathbf{n}^T \mathbf{M}^{-1}) \Rightarrow \mathbf{n}' = (\mathbf{n}^T \mathbf{M}^{-1})^T = (\mathbf{M}^{-1})^T \mathbf{n}$

Transformation von Normalen

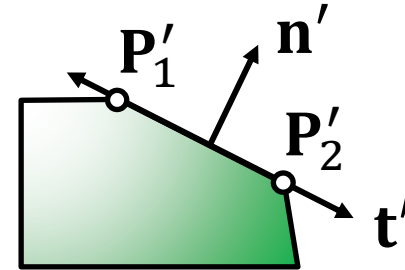
- ▶ wir betrachten zwei Punkte $\mathbf{P}_1, \mathbf{P}_2$ auf der Tangentialebene zur Normale
- ▶ die Normale muss vor und nach der Transformation senkrecht auf dem Differenzvektor stehen



Original



falsch
transformiert



korrekt
transformiert

- ▶ seien \mathbf{P}_1 und \mathbf{P}_2 zwei Punkte in der Tangentialebene und $\mathbf{r} = \mathbf{P}_2 - \mathbf{P}_1$

- ▶ es gilt: $\mathbf{n}^T \cdot \mathbf{r} = 0$

einsetzen: $\mathbf{r} = (\mathbf{M}^{-1}\mathbf{M})\mathbf{r}$

- ▶ $\mathbf{n}^T (\mathbf{M}^{-1}\mathbf{M})\mathbf{r} = 0$

- ▶ $\underbrace{(\mathbf{n}^T \mathbf{M}^{-1})}_{\mathbf{n}'^T} \cdot \underbrace{(\mathbf{M}\mathbf{r})}_{\mathbf{r}'} = 0$

- ▶ wenn $\mathbf{n}'^T = (\mathbf{n}^T \mathbf{M}^{-1}) \Rightarrow \mathbf{n}' = (\mathbf{n}^T \mathbf{M}^{-1})^T = (\mathbf{M}^{-1})^T \mathbf{n}$

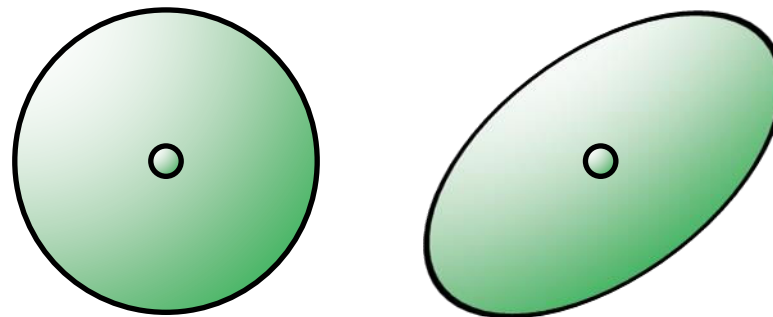
Transformation von Normalen



- ▶ Transformation des Normalenvektors mit der **invers-transponierten Matrix**: $\mathbf{n}' = (\mathbf{M}^{-1})^T \mathbf{n}$
 - ▶ beachte: es ist möglich das $\|\mathbf{n}'\| \neq 1$, z.B. bei Skalierungen oder Scherungen (d.h. nur Richtung von \mathbf{n}' ist korrekt)
- ▶ warum „funktioniert“ $\mathbf{n}' = \mathbf{M}\mathbf{n}$ für Ähnlichkeitsabbildungen (= euklidische Transformation plus Skalierung)?
 - ▶ es gilt in diesem Fall: $(\mathbf{M}^{-1})^T = \lambda\mathbf{M}$ (erhält zumindest die Richtung)
 - ▶ bei einer Matrix mit orthonormaler Basis gilt $(\mathbf{M}^{-1})^T = \mathbf{M}$, also $\lambda = 1$

Schnittpunktberechnung in Modell- oder Weltkoordinaten?

- ▶ Modelltransformationen in das Weltkoordinatensystem:
 - ▶ Rotation, isotrope Skalierung, Translation sind einfach
 - ▶ Dreieck: Transformation der 3 Eckpunkte
 - ▶ Kugel: Veränderung des Kugelmittelpunkts und -radius
- ▶ Scherung, allgemeine Skalierung
 - ▶ Dreieck: kein Problem, Transformation der Eckpunkte
 - ▶ Kugel: implizite Beschreibung einer gescherten Kugel?

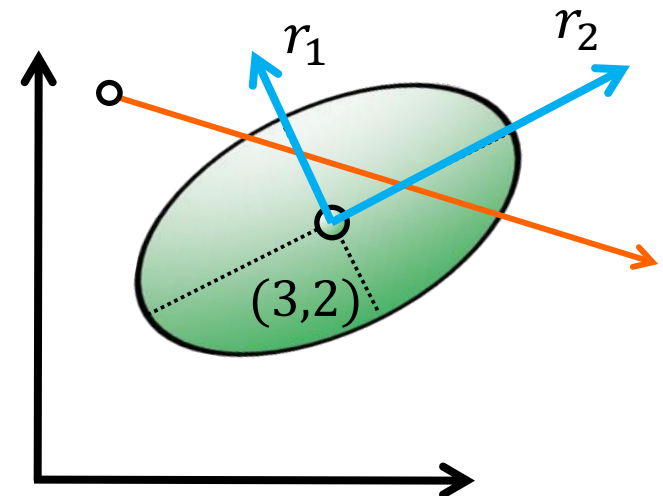
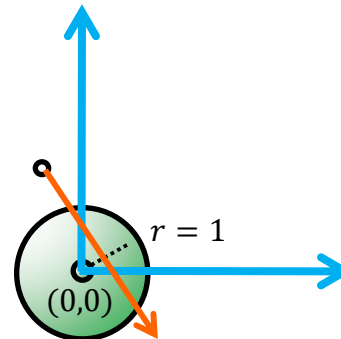
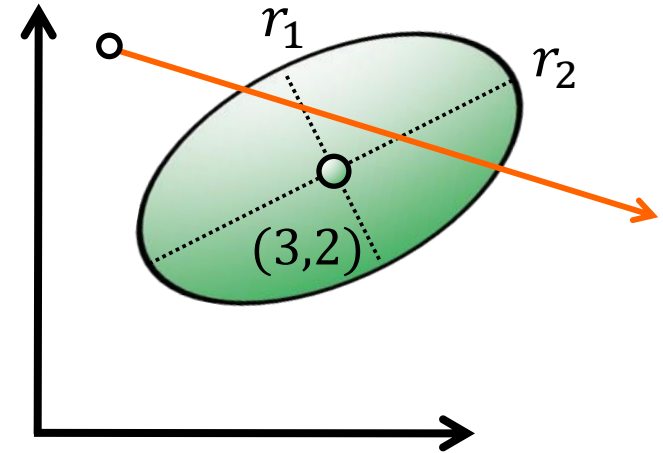


- ▶ bessere Alternative: **Schnittpunktberechnung in Modellkoordinaten**

Transformationen und Schnitttests

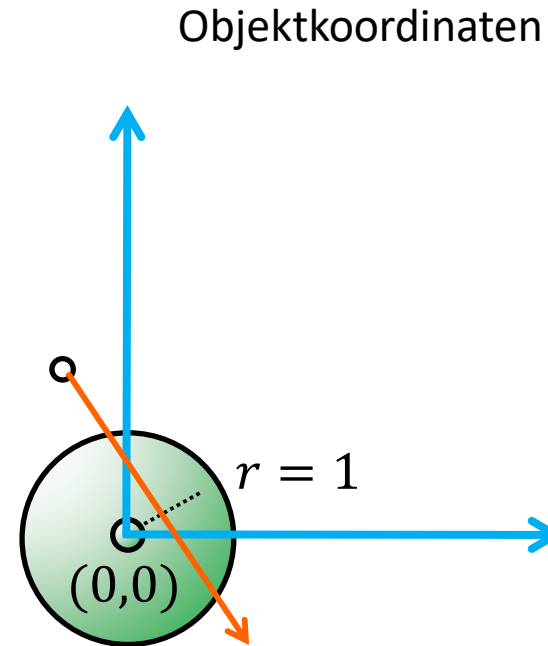
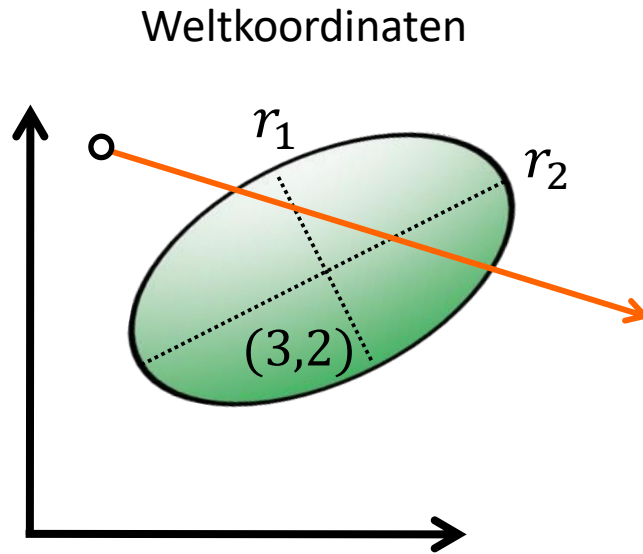
Zwei Möglichkeiten

- ▶ Schnittpunktberechnung in Weltkoordinaten:
jedes Primitiv behandelt seine Transformationen selbst,
oft (unnötig) kompliziert
(aber gut bei statischen Dreiecksnetzen ohne Instanziierung)
- ▶ Schnittpunktberechnung in Modellkoordinaten:
gut, wenn viele Primitive sich eine Transformation teilen, z.B. ein instanziiertes Dreiecksnetz



Transformation des Strahls

- ▶ transformiere den Strahl von Welt- in Objektkoordinaten



- ▶ involvierte Transformationen

- ▶ in Weltkoordinaten (world space): $\mathbf{p}_{ws} = \mathbf{M}\mathbf{p}_{os}$

- ▶ in Objektkoordinaten (object space): $\mathbf{p}_{os} = \mathbf{M}^{-1}\mathbf{p}_{ws}$

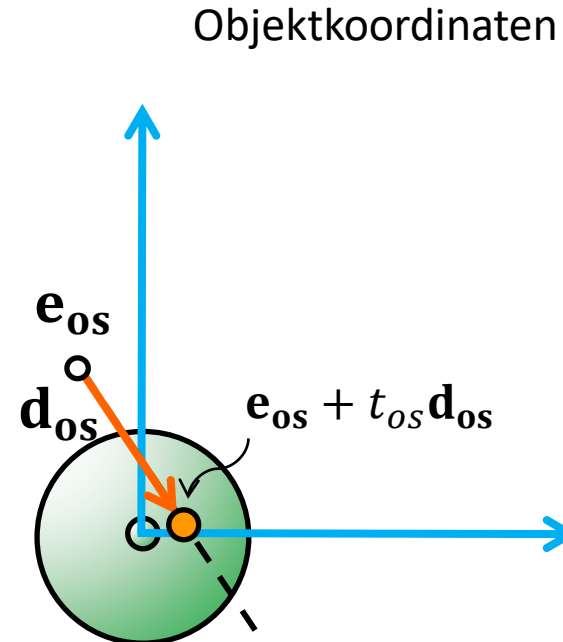
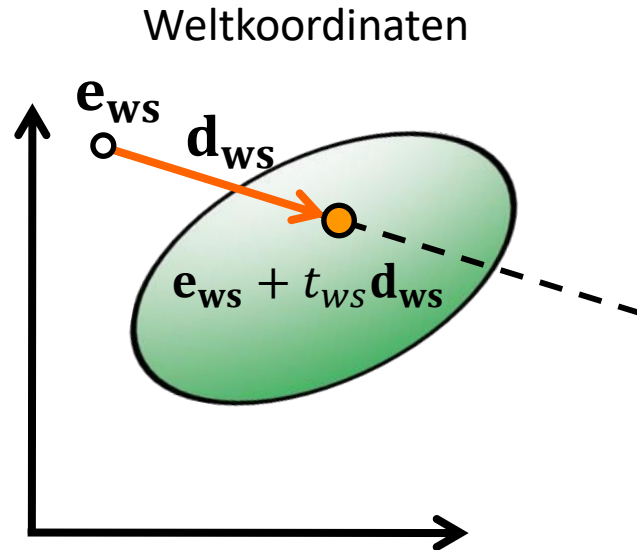
Transformation des Strahls

- ▶ neuer Strahlursprung

$$\mathbf{e}_{os} = \mathbf{M}^{-1} \mathbf{e}_{ws}$$

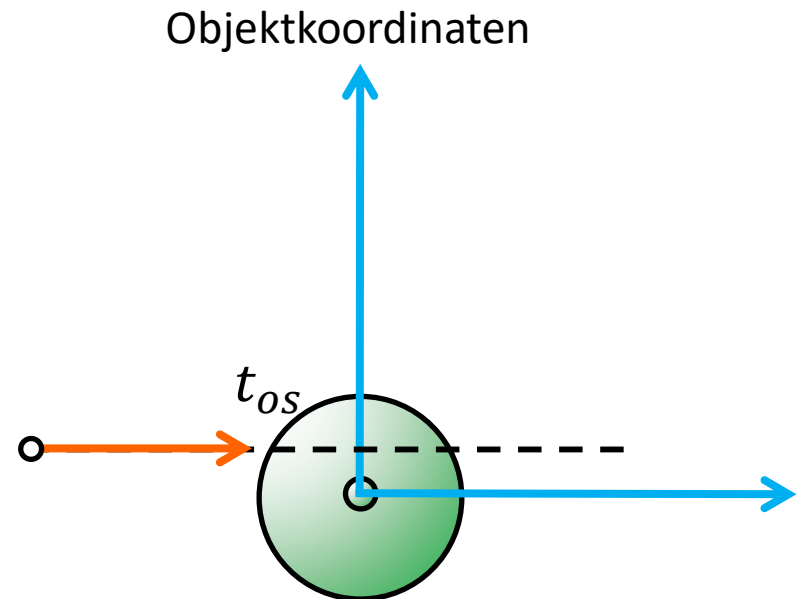
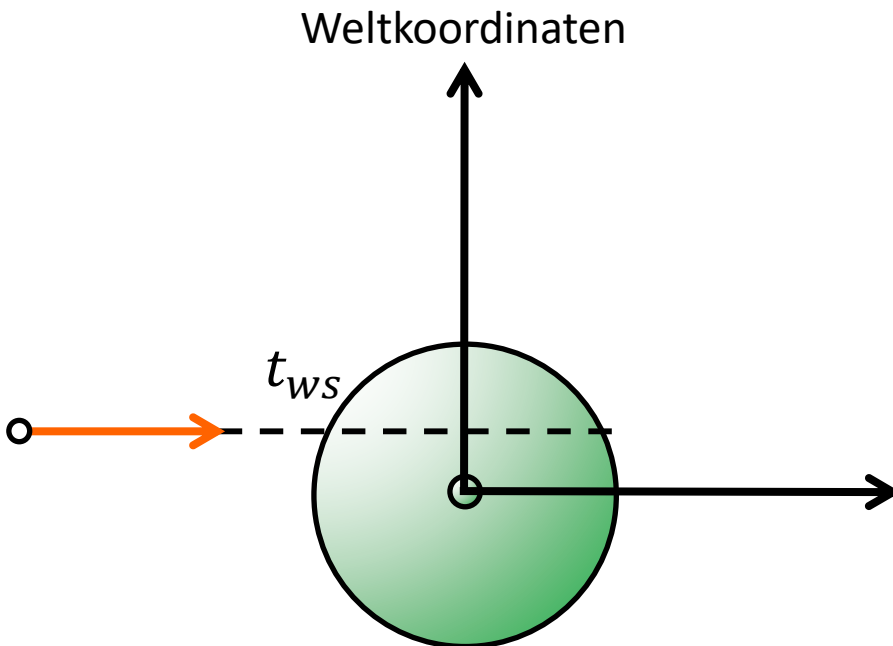
- ▶ neue Strahlrichtung (= wie eben Differenz zweier Punkte, daher dürfen wir hier direkt die inverse Matrix verwenden)

$$\mathbf{d}_{os} = \mathbf{M}^{-1} \mathbf{d}_{ws}$$



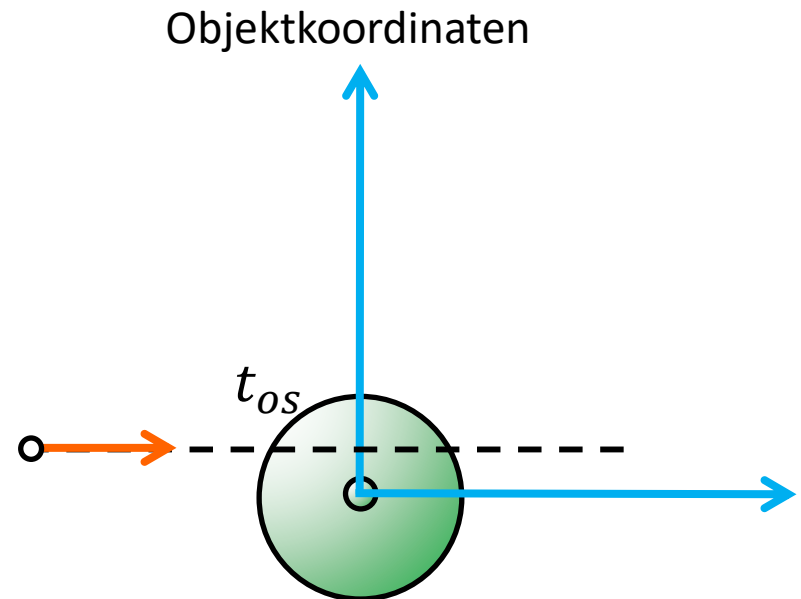
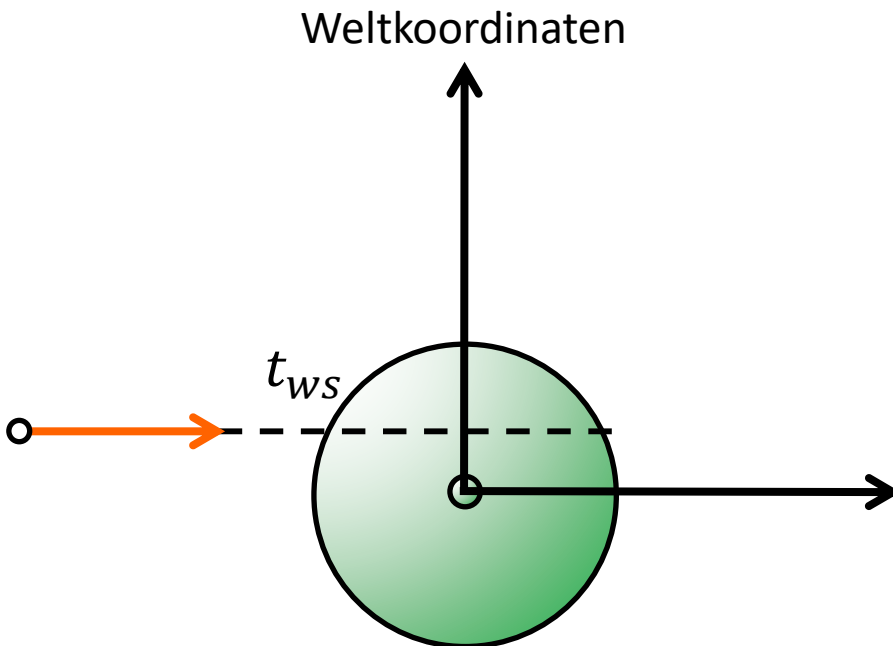
Transformation des Strahls

- ▶ \mathbf{d}_{os} ist i.A. nicht normalisiert, z.B. wenn \mathbf{M} eine Skalierung enthält
- ▶ wieder zwei Optionen
 - ▶ normalisiere \mathbf{d}_{os} , also verwende $\mathbf{d}_{os}/|\mathbf{d}_{os}|$
 - ▶ normalisiere nicht und verwende \mathbf{d}_{os} für die Schnittberechnung
- ▶ Fall 1: verwende $\mathbf{d}_{os}/|\mathbf{d}_{os}|$
 - ▶ $t_{ws} \neq t_{os}$ (Skalierung nach der Schnittberechnung notwendig)



Transformation des Strahls

- ▶ \mathbf{d}_{os} ist i.A. nicht normalisiert, z.B. wenn \mathbf{M} eine Skalierung enthält
- ▶ wieder zwei Optionen
 - ▶ normalisiere \mathbf{d}_{os} , also verwende $\mathbf{d}_{os}/|\mathbf{d}_{os}|$
 - ▶ normalisiere nicht und verwende \mathbf{d}_{os} für die Schnittberechnung
- ▶ Fall 2: verwende \mathbf{d}_{os} (wenn Schnittberechnung es zulässt)
 - ▶ $t_{ws} = t_{os}$



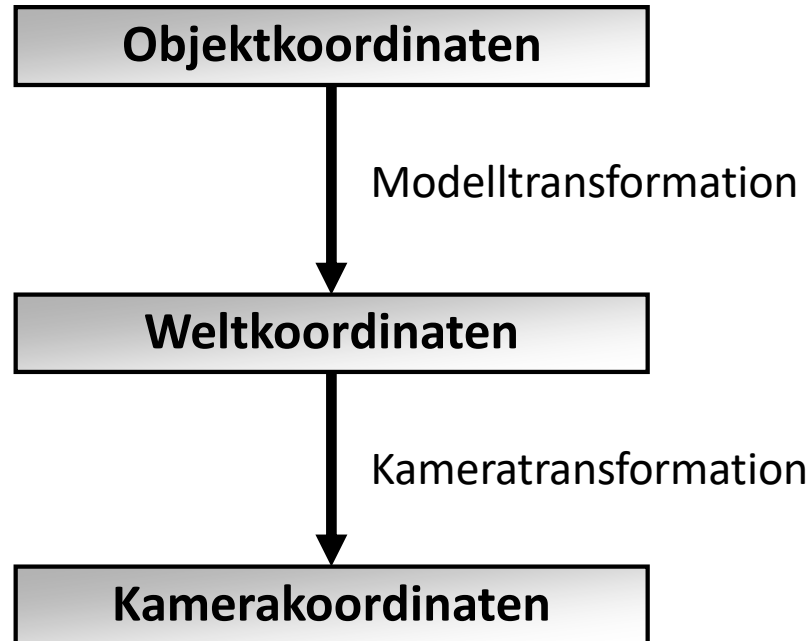
Fazit

- ▶ ist (implizite) Beschreibung des mit \mathbf{M} transformierten Objekts schwierig
→ transformiere den Strahl mit \mathbf{M}^{-1} und führe Schnitttest mit der ursprünglichen Beschreibung durch
- ▶ meist günstiger als die Objekte zu transformieren
- ▶ einfacher/effizienter, wenn Instanziierung verwendet wird
- ▶ **wichtigster Fall in der Praxis: einmalige Strahltransformation für viele Objekte/Objektgruppen, z.B. ein instanziiertes Dreiecksnetz**
- ▶ Kosten der Matrixinversion und Strahltransformation?
 - ▶ trotzdem nicht vernachlässigbar → also nur, wenn notwendig
 - ▶ Ausnutzen der Modellhierarchie/des Szenengraphen
 - ▶ einzelne Transformationen sind einfach umkehrbar
 - ▶ Wiederverwenden von Matrizen

Transformationen und Schnitttests



- ▶ Strahlerzeugung: typischerweise in Welt- oder Kamerakoordinaten
- ▶ Schnittpunktberechnung kann in jedem Koordinatensystem stattfinden



Ausblick: Transformationspipeline

